





 \bigcirc Número de publicación: $2\ 349\ 550$

21) Número de solicitud: 200802466

(51) Int. Cl.:

A61K 31/275 (2006.01) **A61P 43/00** (2006.01)

12 SOLICITUD DE PATENTE A1

22) Fecha de presentación: 20.08.2008

Solicitante/s: Centro Nacional de Investigaciones Cardiovasculares (CNIC) (Titular al 75%) Melchor Fernández Almagro, 3 28029 Madrid, ES Consejo Superior de Investigaciones Científicas (CSIC) (Titular al 25%)

- 43 Fecha de publicación de la solicitud: 05.01.2011
- (72) Inventor/es: Strippoli, Raffaele; Pozo Barriuso, Miguel Ángel del y López Cabrera, Manuel
- 43 Fecha de publicación del folleto de la solicitud: 05.01.2011
- 74 Agente: Pons Ariño, Ángel
- (54) Título: Inhibidores de la MEK 1/2 para el tratamiento de la fibrosis peritoneal.
- (57) Resumen:

Inhibidores de la MEK 1/2 para el tratamiento de la fibrosis peritoneal.

Fármacos útiles en la prevención y tratamiento de la fibrosis de la membrana peritoneal (opacificación peritoneal, síndrome del peritoneo bronceado, fibrosis mural y síndrome de peritonitis esclerosante) que se produce como consecuencia de una diálisis peritoneal a largo plazo, método de selección de estos fármacos, y método para la recolección de datos útiles en el diagnóstico de dicha enfermedad.

DESCRIPCIÓN

Inhibidores de la MEK 1/2 para el tratamiento de la fibrosis peritoneal.

La presente invención se engloba dentro del campo de la biología molecular, de la biotecnología, y de la medicina, y específicamente se refiere a la prevención y tratamiento de la fibrosis de la membrana peritoneal (opacificación peritoneal, síndrome del peritoneo bronceado, fibrosis mural y síndrome de peritonitis esclerosante) que se produce como consecuencia de una diálisis peritoneal a largo plazo. También se refiere a un método de selección de fármacos útiles en el tratamiento de la fibrosis peritoneal y a un método para la recolección de datos útiles en el diagnóstico de dicha enfermedad.

Estado de la técnica anterior

La diálisis peritoneal (DP) es una alternativa a la hemodiálisis para el tratamiento de enfermedades renales en su último estadio. Durante estos procesos, la membrana peritoneal (MP) actúa como una barrera de permeabilidad a través de la cual tiene lugar la filtración y la difusión. La MP consiste en una capa simple de células mesoteliales (CM) cubriendo una región submesotelial compuesta de tejido conectivo y un pequeño número de fibroblastos, mastocitos, macrófagos y vasos sanguíneos. La exposición crónica a los estímulos exógenos de las soluciones de diálisis hiperosmóticas, hiperglucémicas y ácidas, así como episodios de peritonitis y hemoperitoneo, y otros factores endógenos (liberación de citoquinas proinflamatorias, menstruación retrógrada, migración transmural) puede causar inflamación aguda y crónica y dañar la MP, lo que progresivamente degenera en fibrosis (opacificación peritoneal, síndrome del peritoneo bronceado, fibrosis mural y síndrome de peritonitis esclerosante), angiogénesis y vasculopatía hialinizante, lo que conduce en grado extremo a la desmesotelización de la membrana peritoneal, modificando el intercambio de sustancias y conduciendo al abandono de la diálisis peritoneal.

25

15

La transición epitelio-mesénquima (TEM) se caracteriza por la adquisición por parte de células epiteliales de características mesenquimáticas que les permiten desprenderse de las células vecinas, reorganizar su citoesqueleto, degradar la lámina basal y la matriz extracelular subyacente, y adquirir la capacidad de migrar a través de esta última. Ejemplos de transiciones epitelio-mesénquimas son la formación del mesodermo a través de la línea primitiva, la diferenciación de la cresta neural, la disgregación del dermomiotomo o la formación del mesénquima valvuloseptal en los cojines endocárdicos, y es un mecanismo involucrado en la fibrosis tisular. Además, la TEM ha sido descrita como proceso fundamental en la progresión tumoral y en patologías inflamatorias crónicas que pueden afectar órganos como riñones, hígado, pulmón y el peritoneo de pacientes sometidos a diálisis peritoneal. En este caso, la TEM puede jugar un papel importante en el desarrollo y progresión de la fibrosis peritoneal, dando lugar a un fallo funcional de la membrana (Yanez-Mo et al., 2003. N Eng J Med 2003; 348: 403-13; Margetts et al., 2005. J Am Soc Nephrol 16: 425-36; Aroeira et al., 2005. Am J Kidney Dis 2005; 46: 938-48).

La TEM en el peritoneo está unida a una disfunción de la membrana peritoneal, y su establecimiento limita la efectividad de la diálisis peritoneal. La regulación molecular de la TEM en el peritoneo es de interés, por tanto, desde el punto de vista clínico.

Entre los mecanismos moleculares implicados en la TEM se conoce que la vía Ras está implicada, tanto *in vitro* como *in vivo*. Sin embargo, son necesarias distintas vías aguas abajo de Ras para llegar a una TEM completa. Así, en la fibrosis pulmonar, el desorden fibrótico pulmonar más común, parece que la vía de señales implicada en la TEM alveolar es dependiente de Smad2, puesto que existen estudios donde se describe que inhibidores de la MEK-1 y MEK-2, como PD98059 y U0126, han fracasado en revertir la modulación fenotípica de las células A549 inducida por TGF-β1 (Kasai *et al.*, 2005. *Respiratory Research* 2005, 6:56). En lo que respecta a la fibrosis peritoneal, se conoce que una de las principales causas de la misma, que sucede como consecuencia de la diálisis, es la elevada concentración de glucosa en el líquido de diálisis, En Ogawa *et al.*, 2001. *Kidney International*, 60: 996-1008 también emplean el PD98059 (2'-amino-3'-metoxiflavona) (20 μmol/L, Calbiochem), un inhibidor específico de MEK, para determinar si la modificación de la actividad proteínaquinasa tiene algún efecto sobre la *gap junctional intercellular communications* (GJIC) y/o Cx43, concluyendo que los inhibidores de MEK no restauran GJIC y no hay un cambio significativo en la fosforilación de Cx43 en presencia de estos inhibidores. Además, también parece que en la remodelación del citoesqueleto y en la formación de fibras de actina se encuentran implicados mayoritariamente genes independientes de la activación de ERK (Zavadil *et al.*, 2001. PNAS 98(12): 6686-6691)

Entre las citoquinas y factores de crecimiento producidos durante la inflamación peritoneal, el factor de crecimiento β1 (TGF-β1) se considera como la molécula clave en la génesis de la fibrosis peritoneal, puesto que elevados niveles de TGF-β1 en el dializado peritoneal se relacionan con peores resultados. Más aún, el tratamiento combinado con interleukina-1β (IL-1β) y TGF-β1 induce cambios bioquímicos y morfológicos en las células mesoteliales omentales que son reminiscentes de aquel que tiene lugar durante la TEM. Sin embargo, los mecanismos que controlan el establecimiento y la progresión de TEM parecen ser múltiples y específicos del tipo de célula. Así, uno de los reguladores es el factor de transcripción Snail1, un potente represor transcripcional de cadherina-E. La expresión de Snail1 integra una red compleja de señales intracelulares, incluyendo la quinasa unida a integrina (ILK), fosfatidil inositol 3 quinasa (PI3-K) y las proteína quinasas activadas por mitógenos (MAP), GSK-3β, y el factor de transcripción nuclear kappa B (NF-κB). Se ha demostrado recientemente que NF-κB juega un papel principal en la inducción de TEM en el modelo de célula cancerosa transformada por Ras (Huber *et al.* 2004. *J. Clin. Invest.* 114(4): 569-581). En células en estadio basal, NF-κB es complejado por el inhibidor de kappaB (IκB), el cual bajo activación es fosforilado y subsiguiente-

mente degradado, permitiendo la liberación y la translocación nuclear de NF- κ B y la subsiguiente expresión de genes específicos.

Aunque la regulación molecular de TEM ha sido extensivamente estudiada en otros sistemas celulares, las vías de señales que subyacen en este proceso en CM aún no han sido descrito. Puesto que la TEM producida por CM es principal en el desarrollo de la fibrosis peritoneal y de la angiogénesis, y no existe un tratamiento efectivo para evitar la pérdida progresiva de la capacidad dialítica peritoneal en pacientes sometidos a DP. Dilucidar los elementos implicados en este proceso podría dar lugar a nuevas dianas terapéuticas que permitan establecer dichos tratamientos.

Descripción de la invención

35

40

50

60

Existe la necesidad de encontrar un tratamiento efectivo para evitar la pérdida progresiva de la capacidad dialítica peritoneal en pacientes sometidos a diálisis peritoneal. En la presente invención se describe como inhibidores de la MEK-1 y MEK-2 son capaces de revertir la TEM en células mesoteliales transdiferenciadas de pacientes peritoneales sometidos a diálisis peritoneal ambulatoria continua (DPAC).

Así, un primer aspecto de la invención se refiere a una composición, de ahora en adelante composición de la invención, que comprende un agente modulador de la actividad de MEK 1/2 para la prevención y el tratamiento de la fibrosis peritoneal. Se refiere también al uso de una composición que comprende un agente modulador de la actividad de MEK 1 y/o MEK 2, de ahora en adelante composición de la invención, para la elaboración de un medicamento para el tratamiento de la fibrosis peritoneal.

El término "MEK 1/2" ó "MEK 1" y "MEK 2", también llamadas en la literatura "MAPKK 1/2", "MEK1a", "MAPKK1", "MKK1a", "PRKMK1", "MAP kinase kinase 1" ó "y" ó "MAP2K2", "MAPKK2", "MEK2", "MKK2", "PRKMK2", "ERK activator kinase 2", "MAP kinase kinase 2" ó "FLJ26075", se refiere a unas enzima Ser/Thr/Thrquinasa que fosforila el enzima MAPK en sus residuos Thr y Tyr de la secuencia Thr-XTyr 185/187. A no ser que se indique lo contrario, cuando se utiliza en el presente documento el término "MEK 1/2" ó "MAPKK 1/2", se refiere tanto al gen como a la proteína (enzima) MEK 1 y/o MEK 2 humana.

Las dianas aguas abajo de MEK 1 identificadas hasta ahora son ERK1 y ERK2. Posteriormente a la fosforilación, las ERK activan dianas nucleares, de membrana, citosólicas y del citoesqueleto, que median múltiples cascadas de señales.

En el contexto de la presente invención, MEK 1 se define también por una secuencia de nucleótidos o polinucleótido, que constituye la secuencia codificante de la proteína MEK 1, y que comprendería diversas variantes procedentes de:

- a) moléculas de ácido nucléico que codifican un polipéptido que comprende la secuencia aminoacídica de la SEQ ID NO: 1,
 - b) moléculas de ácido nucléico cuya cadena complementaria híbrida con la secuencia polinucleotídica de a),
 - c) moléculas de ácido nucléico cuya secuencia difiere de a) y/o b) debido a la degeneración del código genético,
- d) moléculas de ácido nucléico que codifican un polipéptido que comprende la secuencia aminoacídica con una identidad de al menos un 80%, un 90%, un 95%, un 98% o un 99% con la SEQ ID NO: 1.
 - en las que el polipéptido codificado por dichos ácidos nucléicos posee la actividad y las características estructurales de la proteína MEK 1.

MEK 2 se define también por una secuencia de nucleótidos o polinucleótido, que constituye la secuencia codificante de la proteína MEK 2, y que comprendería diversas variantes procedentes de:

- a) moléculas de ácido nucléico que codifican un polipéptido que comprende la secuencia aminoacídica de la SEQ
 5 ID NO: 2.
 - b) moléculas de ácido nucléico cuya cadena complementaria híbrida con la secuencia polinucleotídica de a),
 - c) moléculas de ácido nucléico cuya secuencia difiere de a) y/o b) debido a la degeneración del código genético,
 - d) moléculas de ácido nucléico que codifican un polipéptido que comprende la secuencia aminoacídica con una identidad de al menos un 80%, un 90%, un 95%, un 98% o un 99% con la SEQ ID NO: 2.
- en las que el polipéptido codificado por dichos ácidos nucléicos posee la actividad y las características estructurales de la proteína MEK 2.

La secuencia de la proteína MEK 2 es substancialmente homologa a la de MEK 1, excepto en su parte terminal amino, y por una región rica en prolina insertada entre los subdominios de quinasa conservados 9 y 10.

El término "que modula la actividad" como se usa aquí, se refiere principalmente a que inhibe (disminuye) el nivel de actividad de las enzimas MEK 1/2 en una célula. La actividad de MEK 1/2 puede ser modulada por la modificación de los niveles y/o de la actividad de MEK 1/2, o por la modificación de los niveles a los que se transcriben los genes que codifican MEK 1 y MEK 2 tal que los niveles de actividad de las proteínas MEK 1 y MEK 2 en la célula es modulada. Los agentes moduladores pueden ser también agonistas (sustancias que son capaces de unirse a un receptor y provocar una respuesta en la célula, preferiblemente una disminución de la actividad de MEK 1 y/o MEK 2), como antagonistas (sustancias que no solamente no activan el receptor, sino que en realidad bloquea su activación por los agonistas). En el contexto de la presente invención, la *inhibición* es la forma preferida de modulación.

En una realización preferida de este aspecto de la invención, los agentes moduladores comprendidos en la composición de la invención se seleccionan de una lista que comprende:

- a) una molécula orgánica,
- b) una molécula de ARN,
- c) un oligonucleótido antisentido,
- d) un anticuerpo, o
- e) una ribozima.

En una realización aún más preferida de este aspecto de la invención, el agente modulador de la composición inhibe específicamente la actividad de MEK 1.

Un experto en la materia podría preparar moléculas orgánicas que pueden unirse específicamente a la MEK 1/2 sin unirse a otros polipéptidos o proteínas. Las moléculas orgánicas tendrán preferiblemente un peso de 100 a 20.000 daltons, más preferiblemente 500 a 15.000 daltons, y más preferiblemente 1000 a 10.000 daltons. Librerías de moléculas orgánicas se encuentran disponibles comercialmente. La vía de administración puede ser, sin limitarse a estas, intraperitoneal, intratecal, intravenosa, intramuscular, subcutánea, intraventricular, oral, enteral, parenteral, intranasal o dérmica. Entre las moléculas orgánicas moduladoras de la actividad de MEK 1/2 se encuentran, pero sin limitarnos, los inhibidores de la MEK de primera generación, como el U0126, y otros como el PD98059, CI-1040 (PD 184352), PD184161, Ro092210, L783277, LLZ16402, Anthrax LF, ARRY-438162 y otros inhibidores oralmente biodisponibles AZD6244 (ARRY-142886), PD0325901 y RDEA119. Por tanto, otra realización preferida de la invención se refiere al uso de la composición de la invención para la elaboración de un medicamento para el tratamiento de la fibrosis peritoneal, donde el agente modulador se selecciona de la lista que comprende: U0126, PD98059, CI-1040 (PD 184352), PD184161, Ro092210, L783277, LLZ16402, Anthrax LF, ARRY-438162, AZD6244 (ARRY-142886), PD0325901, RDEA119 o cualquiera de sus combinaciones. Más preferiblemente, el agente modulador es U0126 y/o PD98059.

Recientemente, con el desarrollo de la tecnología antisentido, secuencias de nucleótidos específicamente complementarios a una determinada secuencia de ADN o ARN, podrían formar complejos y bloquear la transcripción o traducción. Así, con el progreso del silenciamiento génico post-transcripcional, y en particular del ARN de interferencia (RNA interferente o RNAi), se han desarrollado herramientas que permiten la inhibición específica de la expresión de un gen. La inhibición de la expresión de las proteínas MEK 1/2 constituiría por ende la inhibición de su actividad biológica, y en concreto, de la actividad que está contribuyendo a la fibrosis peritoneal (opacificación peritoneal, síndrome del peritoneo bronceado, fibrosis mural y síndrome de peritonitis esclerosante), angiogénesis y vasculopatía hialinizante que se produce como consecuencia de la diálisis peritoneal.

Por "polinucleótidos antisentido" se entienden cadenas de ribonucleótidos o desoxirribonucleótidos que pueden inhibir MEK 1 y/o MEK 2 por uno de estos tres mecanismos:

- 1- Interfiriendo la transcripción, al hibridar en el gen estructural o en una región regulatoria del gen que codifica para MEK 1 ó MEK 2. Puesto que la transcripción o expresión es bloqueada de manera efectiva por la hibridación del oligonucleótido antisentido con el ADN, disminuye la producción de MEK 1 ó MEK 2.
- 2- La unión del oligonucleótido antisentido en el citoplasma con el mRNA, interfiriendo con la formación de la construcción de traducción propiamente dicha, inhibiendo la traducción de mRNA a la proteína.
- 3- La formación de un mRNA antisentido dúplex que permite una rápida degradación del mRNA dúplex por ARNasas (como ARNasa H). Esto da lugar a una menor producción de MEK 1 y/ó MEK 2.

Oligonucleótidos antisentido capaces de modular la actividad de MEK 1 ó MEK 2 son conocidas en el estado de la técnica. Por ejemplo, y sin limitarnos, podría ser una secuencia de ribonucleótidos o ARN que pertenece al denominado siRNA (*small interfering* RNA), ARN pequeño de interferencia o ARN de silenciamiento, capaz de inhibir la expresión genética de la proteína MEK 1 ó MEK 2. En el contexto de la presente memoria se entiende como "siRNA" (*small interfering* RNA ó ARN pequeño de interferencia) una clase de ARN de doble cadena de 19 a 25 nucleótidos de largo, y más preferentemente entre 21 y 23 nucleótidos, que está involucrado en la ruta de la interferencia de ARN, donde el siRNA interfiere la expresión de un gen específico. En la presente invención, este gen específico es el MEK 1 ó MEK

1

20

15

25

50

2. Así, la presente invención incluye a título ilustrativo, pero sin limitarse, los nucleótidos antisentido recogidos en la patente US 6,096,543 (que corresponden a las secuencias SEQ ID NO: 5 a SEQ ID NO: 42), y los siRNA recogidos en Ussar & Voss, 2004. J Biol Chem 279(42): 43861-43869 (SEQ ID NO: 43 a SEQ ID NO: 46); Sahin et al., 2007. PNAS 104(16): 6579-6584 (SEQ ID NO: 47 a SEQ ID NO: 50). Por tanto, en otra realización preferida el agente modulador es un oligonucleótido antisentido que se selecciona de la lista que comprende: la secuencia SEQ ID NO: 5, SEQ ID NO: 6; SEQ ID NO: 7; SEQ ID NO: 8; SEQ ID NO: 9; SEQ ID NO: 10; SEQ ID NO: 11; SEQ ID NO: 12; SEQ ID NO: 13; SEQ ID NO: 14; SEQ ID NO: 15; SEQ ID NO: 16; SEQ ID NO: 17; SEQ ID NO: 18; SEQ ID NO: 19; SEQ ID NO: 20; SEQ ID NO: 21; SEQ ID NO: 22; SEQ ID NO: 23; SEQ ID NO: 24; SEQ ID NO: 25; SEQ ID NO: 26; SEQ ID NO: 27; SEQ ID NO: 28; SEQ ID NO: 29; SEQ ID NO: 30; SEQ ID NO: 31; SEQ ID NO: 32; SEQ ID NO: 33; SEQ ID NO: 34; SEQ ID NO: 35; SEQ ID NO: 36; SEQ ID NO: 37; SEQ ID NO: 38; SEQ ID NO: 39; SEQ ID NO: 30; SEQ ID NO: 40; SEQ ID NO: 41; SEQ ID NO: 42; SEQ ID NO: 43; SEQ ID NO: 44; SEQ ID NO: 45; SEQ ID NO: 46; SEQ ID NO: 47; SEQ ID NO: 48; SEQ ID NO: 49; SEQ ID NO: 50 o cualquiera de sus combinaciones. También podría ser cualquier siRNA capaz de hibridar una molécula de ácido nucleico que codifique la proteína MEK 1 y/o MEK 2 humana que se recoge en la SEQ ID NO: 1 y SEQ ID NO: 2. También podrían ser una construcción de ARN que al menos contenga una cualquiera de las secuencias de nucleótidos posibles de siRNA capaces de inhibir la expresión de MEK 1 y/ó MEK 2, y sin perjuicio de que adicionalmente formen parte de la presente invención cualquiera de las secuencias y construcciones de RNA de la invención anteriormente descritas que sean objeto de modificaciones, preferentemente químicas, que conduzcan a una mayor estabilidad frente a la acción de ribonucleasas y con ello a una mayor eficiencia. Sin que dichas modificaciones supongan la alteración de su mecanismo de acción, que es la unión específica al complejo RISC (RNA-induced silencing complex), activándolo y manifestando una actividad helicasa que separa las dos hebras dejando solo la hebra antisentido asociada al complejo. El complejo ribonucleoprotéico resultante se une al mRNA diana (ARN mensajero de MEK 1 ó MEK 2, que se recoge en las SEQ ID NO: 3 y SEQ ID NO: 4). Si la complementariedad no es perfecta, RISC queda asociado al mensajero y se atenúa la traducción. Pero si es perfecta, RISC actúa como RNasa, cortando al mensajero y quedando libre para repetir el proceso.

Adicionalmente resulta evidente para un experto en la materia que una gran cantidad de polinucleótidos de mRNA pueden traducirse a MEK 1 ó MEK 2 como consecuencia, por ejemplo, de que el código genético es degenerado. Cualquier siRNA capaz de inhibir la traducción de estos mRNA también forman parte de la invención.

La preparación de la secuencias de siRNA de la invención o de las construcciones de RNA de la invención serían evidentes para un experto en la materia, y se podría llevar a cabo por síntesis química, lo cual permite además la incorporación de modificaciones químicas tanto en los distintos nucleótidos del producto como la incorporación de otros compuestos químicos en cualquiera de los extremos. Por otro lado, la síntesis también podría realizarse enzimáticamente utilizando cualquiera de las RNA polimerasas disponibles. La síntesis enzimática también permite alguna modificación química de los productos o RNAs inhibidores.

30

El diseño de las secuencias de nucleótidos del siRNA de la invención también sería evidente para un experto en la materia. Así, se podría realizar mediante un diseño aleatorio en el que se seleccionen 19-25 bases del mRNA diana sin tener en cuenta la secuencia o la información posicional que tiene en el transcrito. Otra alternativa no limitativa de la presente invención sería el diseño convencional mediante parámetros simples desarrollados por los pioneros de la técnica (Calipel *et al.*, 2003. *J Biol Chem.* 278(43): 42409-42418) completados con un análisis BLAST de nucleótidos. Otra posibilidad podría ser un diseño racional, en el que se emplee un procedimiento informático dirigido a identificar las dianas óptimas de siRNA en un mRNA. Las secuencias diana se analizan en grupos de 19 nucleótidos a la vez y se identifican las que tienen mejores características en función de un algoritmo que incorpora un gran número de parámetros termodinámicos y de secuencia.

También podría formar parte de la composición de la invención una construcción genética de ADN, la cual dirigiría la transcripción in vitro o intracelular de la secuencia siRNA o construcción de ARN de la invención, y que comprende, al menos, uno de los siguientes tipos de secuencias: a) secuencia de nucleótidos de ADN, preferentemente de doble cadena, que comprende, al menos, la secuencia codificante del siRNA de la invención o de la construcción de ARN de la invención para su transcripción, o, b) secuencia de nucleótidos de ADN, preferentemente de doble cadena, correspondiente a un sistema o vector de expresión génica que comprende la secuencia codificante de la secuencia de ARN de la invención operativamente enlazada con, al menos, un promotor que dirija la transcripción de dicha secuencia de nucleótidos de interés, y con otras secuencias necesarias o apropiadas para la transcripción y su regulación adecuada en tiempo y lugar, por ejemplo, señales de inicio y terminación, sitios de corte, señal de poliadenilación, origen de replicación, activadores transcripcionales (enhancers), silenciadores transcripcionales (silencers), etc... para su uso en aquellos contextos patológicos en los que MEK 1 ó MEK 2 está contribuyendo a la fibrosis peritoneal (opacificación peritoneal, síndrome del peritoneo bronceado, fibrosis mural y síndrome de peritonitis esclerosante), angiogénesis y vasculopatía hialinizante que se produce como consecuencia de la diálisis peritoneal. Múltiples de estas construcciones, sistemas o vectores de expresión pueden ser obtenidos por métodos convencionales conocidos por los expertos en la materia (Sambrook et al. 2001. Molecular Cloning: A Laboratory Manual. Cold Spring Harbor Laboratory Press, New York).

Las composiciones de la presente invención permiten la transfección del siRNA de la invención al interior de una célula, *in vivo* o *in vitro*. La transfección se podría llevar a cabo, pero sin limitarnos a, transfección directa o vectores que faciliten el acceso del siRNA al interior de la célula. Así, ejemplos de estos vectores son, sin limitarse a, retrovirus, lentivirus, adenovirus, virus adeno-asociados, virus del *Herpes simplex*, plásmidos de DNA no virales, liposomas catiónicos y conjugados moleculares. Así, por ejemplo, los siRNA de la presente invención, así como ARN

o ADN precursores de estos siRNA, pueden conjugarse con péptidos de liberación u otros compuestos para favorecer el transporte de estos siRNA al interior de la célula.

Los anticuerpos capaces de unirse a las proteínas MEK 1 y/ó MEK 2 pueden ser empleados para inhibir la actividad de dichas proteínas. Tales anticuerpos están disponibles en el estado de la técnica (como por ejemplo, pero sin limitarse a ellos, los anticuerpos comercializados por Santa Cruz Biotechnology, Inc. MEK-1 (H-8): sc-6250; MEK-1 (C-18): sc-219, MEK-1 (4A5): sc-56925; MEK-1 (263P15): sc-56924; MEK-1 (10B1): sc-81477; p-MEK-1 (Ser 298)-R: sc-30635-R; MEK-1/2 (12-B): sc-436; p-MEK-1/2 (Ser 218/Ser 222): sc-7995; MEK-1/2 (9G3): sc-81504; p-MEK-1/2 (7E10): sc-81503; p-MEK-1/2 (Thr 291): sc-101733; MEK-2 (8E8): sc-81473; MEK-2 (A-1): sc-13159; MEK-2 (C-16): sc-525; MEK-2 (N-20): sc-524: p-MEK-2 (Thr 394): sc-101734; los anticuerpos comercializados por comercializados por Sigma-Aldrich M5795; M7683; M2568; M5193; M4943; M7194 y que reconocen como antígenos péptidos que corresponden a MEK 1 y/ó MEK 2 humana. Los anticuerpos, o fragmentos de los mismos, podrían ser capaces de inhibir la actividad de la proteína MEK 1 y/6 MEK 2 que contribuye a la fibrosis peritoneal (opacificación peritoneal, síndrome del peritoneo bronceado, fibrosis mural y síndrome de peritonitis esclerosante), angiogénesis y vasculopatía hialinizante que se produce como consecuencia de la diálisis peritoneal. Por tanto, en otra realización preferida de este aspecto de la invención, el agente modulador se selecciona de entre los anteriores anticuerpos, o fragmentos de los mismos, o cualquiera de sus combinaciones. Los anticuerpos pueden ser policionales (incluyen típicamente anticuerpos distintos dirigidos contra determinantes o epitopos distintos) o monoclonales (dirigidos contra un único determinante en el antígeno). El anticuerpo monoclonal puede ser alterado bioquímicamente, por manipulación genética, o puede ser sintético, careciendo, posiblemente, el anticuerpo en su totalidad o en partes, de porciones que no son necesarias para el reconocimiento de proteínas MEK 1 y/ó MEK 2 y estando sustituidas por otras que comunican al anticuerpo propiedades ventajosas adicionales. El anticuerpo puede ser también recombinante, quimérico, humanizado, sintético o una combinación de cualquiera de los anteriores.

El término "anticuerpo" tal como se emplea en esta memoria, se refiere a moléculas de inmunoglobulinas y porciones inmunológicamente activas de moléculas de inmunoglobulinas, es decir, moléculas que contienen un sitio de fijación de antígeno que se une específicamente (inmunorreacciona) con las proteínas MEK 1 y/ó MEK 2. Ejemplos de porciones de moléculas de inmunoglobulinas inmunológicamente activas, incluyen fragmentos F(ab) y F(ab')2 que pueden ser generados tratando el anticuerpo con una enzima tal como la pepsina. Puede ser un anticuerpo monoclonal o policional.

2.5

Un "anticuerpo o polipéptido recombinante" (rAC) es uno que ha sido producido en una célula hospedadora que ha sido transformada o transfectada con el ácido nucleico codificante del polipéptido, o produce el polipéptido como resultado de la recombinación homologa.

Estos rAc se pueden expresar y dirigir hacia subcompartimentos celulares específicos cuando se les incorpora las secuencias apropiadas para el tráfico intracelular. Estos anticuerpos se denominan *intrabodies*, y han demostrado su eficacia no sólo para desviar proteínas de su compartimento habitual o bloquear interacciones entre proteínas implicadas en vías de señalización, sino también para activar proteínas intracelulares.

También forman parte de la invención las construcciones genéticas de DNA capaces de transcribirse a un péptido, anticuerpo o fragmento de anticuerpo, para su uso en el tratamiento de la fibrosis peritoneal (opacificación peritoneal, síndrome del peritoneo bronceado, fibrosis mural y síndrome de peritonitis esclerosante), angiogénesis y vasculopatía hialinizante que se produce como consecuencia de la diálisis peritoneal. Dicha construcción genética de DNA dirigiría la transcripción in vitro o intracelular de la secuencia del anticuerpo o fragmento del mismo, y comprende, al menos, uno de los siguientes tipos de secuencias: a) secuencia de nucleótidos de DNA, preferentemente de doble cadena, que comprende, al menos, la secuencia codificante del anticuerpo de la invención o del fragmento de anticuerpo de la invención para su transcripción in vitro, o intracelular, b) secuencia de nucleótidos de DNA, preferentemente de doble cadena, correspondiente a un sistema o vector de expresión génica que comprende la secuencia codificante de la secuencia de anticuerpo o fragmento de anticuerpo de la invención operativamente enlazada con, al menos, un promotor que dirija la transcripción de dicha secuencia de nucleótidos de interés, y con otras secuencias necesarias o apropiadas para la transcripción y su regulación adecuada en tiempo y lugar, por ejemplo, señales de inicio y terminación, sitios de corte, señal de poliadenilación, origen de replicación, activadores transcripcionales (enhancers), silenciadores transcripcionales (silencers), etc... para su uso en la prevención o el tratamiento de la fibrosis peritoneal (opacificación peritoneal, síndrome del peritoneo bronceado, fibrosis mural y síndrome de peritonitis esclerosante), angiogénesis y vasculopatía hialinizante que se produce como consecuencia de la diálisis peritoneal.

Un "ribozima" tal y como se entiende en la presente invención, se refiere a un polinucleótido catalítico (típicamente RNA), que puede construirse para reconocer específicamente, por hibridación, un mRNA y fragmentarlo o eliminar su expresión. Las ribozimas pueden introducirse en la célula como moléculas de RNA catalíticas o como construcciones genéticas que se expresan a moléculas catalíticas de RNA.

En esta memoria se define como "fibrosis peritoneal" a la sustitución del peritoneo por tejido fibroso secundario a peritonitis. Es característico en pacientes en programas de diálisis peritoneal que presentan peritonitis de repetición y pérdida de la eficacia dializante del peritoneo. Tiene un carácter progresivo y se distinguen cuatro síndromes: 1) opacificación y pérdida del brillo; 2) peritoneo bronceado con ausencia de mesotelio y presencia de colágeno hialinizado; 3) fibrosis mural con manifestaciones clínicas; 4) peritonitis esclerosante encapsulante, con intensa fibrosis periintestinal que impide su normal funcionamiento.

"Tratamiento" se refiere a tanto el tratamiento terapéutico como el profiláctico o medidas preventivas. Aquellas necesarias de tratamiento incluyen las ya asociadas con alteraciones así como en aquellas en las que se previene la alteración. Una "alteración" es cualquier condición que se beneficiaría del tratamiento con la composición de la invención, tal y como se describe en el presente documento.

5

La composición proporcionada por esta invención puede ser facilitada por cualquier vía de administración, para lo cual dicha composición se formulará en la forma farmacéutica adecuada a la vía de administración elegida. Los agentes moduladores de la actividad de MEK 1 y/ó MEK 2 de dichas composiciones se encuentran en una cantidad terapéuticamente efectiva. En el sentido utilizado en esta descripción, la expresión "cantidad terapéuticamente efectiva" se refiere a la cantidad de agentes moduladores (o construcciones genéticas que permitan su expresión intracelular) calculada para producir el efecto deseado y, en general, vendrá determinada, entre otras causas, por las características propias de dichos agentes (y construcciones) y el efecto terapéutico a conseguir. Los adyuvantes y vehículos farmacéuticamente aceptables que pueden ser utilizados en dichas composiciones son los vehículos conocidos por los técnicos en la materia.

15

La invención proporciona métodos para identificar compuestos que pueden ser usados para el tratamiento de enfermedades relacionadas con la actividad de MEK 1/2, y en concreto aquellos útiles para el tratamiento de la fibrosis peritoneal. Estos métodos permiten la identificación de candidatos, compuestos a ensayar o agentes (por ejemplo, péptidos, peptidomiméticos, moléculas orgánicas, oligonucleótidos antisentido o otras moléculas) que pueden unirse a MEK 1 y/o MEK 2, y tener un efecto inhibidor de la actividad biológica de MEK 1 y/o MEK 2 o de su expresión, y así determinar si esos compuestos tendrían un efecto sobre las enfermedades en las que MEK 1 y/o MEK 2 está implicado, y en concreto la fibrosis peritoneal (opacificación peritoneal, síndrome del peritoneo bronceado, fibrosis mural y síndrome de peritonitis esclerosante), angiogénesis y vasculopatía hialinizante que se produce como consecuencia de la diálisis peritoneal.

25

Los ensayos para identificar estas moléculas, compuestos o agentes que modulan la actividad de MEK 1 y/o MEK 2 pueden emplear células que expresan MEK 1 y/o MEK 2, o en ensayos con las enzimas MEK 1 y/o MEK 2 aisladas (o con sus variantes, como fragmentos biológicamente activos o proteínas de fusión que incluyen una porción o parte de MEK 1 y/o MEK 2).

30

Así, otro aspecto de la invención consiste en un método de selección de agentes terapéuticos útiles en el tratamiento de la fibrosis peritoneal que comprende:

35

a) poner en contacto el compuesto a analizar con el polinucleótido y/o polipéptido MEK 1 y/o MEK 2,

b) detectar la unión de dicho compuesto a analizar con el polinucleótido y/o polipéptido MEK 1 y/o

MEK 2.

la diálisis peritoneal.

Los compuestos que se unen al polipéptido MEK 1 y/o MEK 2 se identificarían como agentes terapéuticos potenciales frente a la fibrosis peritoneal (opacificación peritoneal, síndrome del peritoneo bronceado, fibrosis mural y síndrome de peritonitis esclerosante), angiogénesis y vasculopatía hialinizante que se produce como consecuencia de

45 b N

Como se ha dicho, estos ensayos pueden implicar el polipéptido completo MEK 1 y/o MEK 2, un fragmento biológicamente activo del mismo, o una proteína de fusión que implique toda o una porción del polipéptido MEK 1 y/o MEK 2. Determinar la capacidad de un compuesto para modular la actividad de MEK 1 y/o MEK 2 puede realizarse, por ejemplo, determinando la capacidad de MEK 1 y/o MEK 2 de unirse o interaccionar con una molécula diana de dicho compuesto, de manera directa o indirecta. Pueden ser también ensayos de actividad, midiendo de manera directa o indirecta la actividad de MEK 1 y/o MEK 2. También puede ser un ensayo de expresión, determinando de manera directa o indirecta la expresión del mRNA de MEK 1 y/o MEK 2 o de la proteína MEK 1 y/o MEK 2. Estos ensayos también pueden combinarse con un ensayo *in vivo* midiendo el efecto de un compuesto test sobre los síntomas de enfermedades relacionadas con MEK 1 y/o MEK 2, y en concreto la fibrosis peritoneal (por ejemplo, pero sin limitarse, sobre modelos animales u otros sistemas modelo conocidos en la técnica).

55

Los compuestos a testar empleados en el método de selección de agentes terapéuticos no se limitan a moléculas orgánicas de bajo peso molecular, sino también proteínas (incluyendo anticuerpos), péptidos, oliogonucleótidos, etc. y pueden ser naturales y/o sintéticos.

60 pé Wo co ma

péuticamente, como se ha expuesto anteriormente, pueden emplearse también en ensayos inmunohistoquímicos, como Western blots, ELISAs, radioinmunoensayos, ensayos de inmunoprecipitación, o otros ensayos inmunohistoquímicos conocidos en el estado de la técnica. Los polipéptidos MEK 1 y/o MEK 2 pueden emplearse para inmunizar a un animal, para obtener anticuerpos policlonales. También se pueden preparar anticuerpos monoclonales mediante técnicas que permiten la producción de anticuerpos por líneas celulares en cultivo, entre las que se incluyen, pero sin limitarse, hibridomas, hibridomas de células B humanas. Técnicas para producir anticuerpos quiméricos, humanizados o

Por ejemplo, anticuerpos capaces de unirse a un epitopo de MEK 1 y/o MEK 2, que pueden ser empleados tera-

sintéticos son conocidas en el estado de la técnica.

Los agentes terapéuticos identificados por el método de selección aquí descrito pueden ser usados en un modelo animal o de otro tipo para determinar el mecanismo de acción de dicho agente. Más aún, los agentes terapéuticos seleccionados por el método aquí descrito se emplearían en el tratamiento de la fibrosis peritoneal (opacificación peritoneal, síndrome del peritoneo bronceado, fibrosis mural y síndrome de peritonitis esclerosante), angiogénesis y vasculopatía hialinizante que se produce como consecuencia de la diálisis peritoneal.

En otro aspecto de la invención se describe un método de selección de agentes terapéuticos útiles en el tratamiento de fibrosis peritoneal que comprende:

- a) determinar la actividad de MEK 1 y/o MEK 2 a una concentración establecida del compuesto a analizar o en ausencia de dicho compuesto,
- b) determinar la actividad de MEK 1 y/o MEK 2 a una concentración del compuesto a analizar diferente de la de a).

Más preferiblemente, la determinación de la actividad de MEK 1 y/o MEK 2 se realiza a una concentración establecida del compuesto a analizar. Compuestos que den lugar a una actividad diferente de MEK 1 y/o MEK 2 se identificarían como agentes terapéuticos potenciales frente a la fibrosis peritoneal (opacificación peritoneal, síndrome del peritoneo bronceado, fibrosis mural y síndrome de peritonitis esclerosante), angiogénesis y vasculopatía hialinizante que se produce como consecuencia de la diálisis peritoneal.

Las enfermedades en las que la alteración de la actividad de MEK 1 y/o MEK 2 puede ser diagnóstica, y en concreto la fibrosis peritoneal, puede ser detectadas midiendo la cantidad de ácidos nucléicos (ADN y/o ARN y/o mRNA) que codifican para MEK 1 y/o MEK 2, o la cantidad de proteína MEK 1 y/o MEK 2 que se expresa, en comparación con células normales. La detección de los oligonucleótidos puede hacerse por métodos bien conocidos en el estado de la técnica (como por ejemplo, pero sin limitarse, sondas con nucleótidos marcados, hibridación ADN-ADN ó ADN-ARN, amplificación por PCR empleando nucleótidos marcados, la RT-PCR). Procedimientos para detectar la expresión de la proteína MEK 1 y/o MEK 2 también son bien conocidos en el estado de la técnica, como por ejemplo anticuerpos poli o monoclonales, ELISA, radioinmunoensayo (RIA), y FACS (fluorescence activated cell sorting).

Por tanto, en otro aspecto de la invención se describe un método para la recolección de datos útiles en el diagnóstico y/o pronóstico de la fibrosis peritoneal que comprende:

- a) determinar la expresión de MEK 1 y/o MEK 2 en una muestra extraída de un mamífero,
- b) comparar los valores de la expresión de MEK 1 y/o MEK 2 obtenidos en a) con los valores estándar en mamíferos sanos o enfermos.

Los términos "polinucleótido" y "ácido nucléico" se usan aquí de manera intercambiable, refiriéndose a formas poliméricas de nucleótidos de cualquier longitud, tanto ribonucleótidos como desoxiribonucleótidos.

Los términos "péptido", "oligopéptido", "polipéptido" y "proteína" se usan aquí de manera intercambiable, y se refieren a una forma polimérica de aminoácidos de cualquier longitud, que pueden ser codificantes o no codificantes, química o bioquímicamente modificados.

A lo largo de la descripción y las reivindicaciones la palabra "comprende" y sus variantes no pretenden excluir otras características técnicas, aditivos, componentes o pasos. Para los expertos en la materia, otros objetos, ventajas y características de la invención se desprenderán en parte de la descripción y en parte de la práctica de la invención. Los siguientes ejemplos y dibujos se proporcionan a modo de ilustración, y no se pretende que sean limitativos de la presente invención.

Breve descripción de las figuras

Fig. 1. Células mesoteliales derivadas del omento experimentan TEM bajo la exposición del efluente de la peritonitis, A. Fotomicrografías de las monocapas confluentes de las células mesoteliales humanas omentales primarias no tratadas (NT) o tratadas durante 72 horas con el efluente peritoneal (diluido 1:1 con el medio de cultivo) de un paciente sometido a diálisis peritoneal que a sufrido peritonitis. B, Inmunofluorescencia confocal (rojo) de células mesoteliales tratadas y no tratadas teñidas con anticuerpos monoclonales contra pan-citoqueratina (72 horas de estimulación). El núcleo fue teñido con Hoechst 33342 (azul). C, Western blots mostrando la expresión de cadherina E y fibronectina en los lisados celulares totales de las células mesoteliales tratadas como se indica a las 1, 24 o 48 horas. La detección de la expresión de α-tubulina se utilizó como control. Los datos son representativos de tres experimentos independientes.

Fig. 2. Células mesoteliales derivadas del omento experimentan TEM bajo la estimulación de TGF-β1 y IL-1β. A, Fotomicrografías de las monocapas confluentes de las células mesoteliales humanas omentales primarias no tratadas (NT) o tratadas con TGF-β1 (0.5 ng/ml) en combinación con IL-1β (2 ng/ml) durante 24 horas (T/I). B, Inmunofluorescencia confocal (rojo) de células mesoteliales tratadas y no tratadas teñidas con anticuerpos monoclonales contra cadherina E (24 horas de estimulación) y con pan-citoqueratina (56 horas de estimulación). El núcleo fue teñido con Hoechst 33342 (azul). C, Western blots mostrando la expresión de cadherina E, cadherina N y fibronectina en los

15

10

35

lisados celulares totales de las células mesoteliales tratadas con TGF- β 1 y IL-1 β durante 24 horas y 48 horas. La detección de la expresión de α -tubulina se utilizó como control. Los datos son representativos de más de 10 experimentos independientes.

- Fig. 3. La translocación nuclear de NF-κB es inhibida por la expresión del super represor IκB. A, Inmunofluorescencia confocal de la expresión y localización de NF-κB. CM peritoneales humanas primarias fueron co-estimuladas con TGF-β1 y IL-1β durante los tiempos indicados; NT, controles no tratados. Células fijadas y permeabilizadas se tiñeron con un anticuerpo policlonal contra p65 NF-κB. El histograma muestra las intensidades medias de fluorescencia de la tinción nuclear de NF-κB, cuantificadas usando el software LAS-AS de Leica. Las barras representan SEM. Se analizaron un total de 50 células por condición; AU: unidades arbitrarias. B, CM peritoneales humanas primarias estimuladas con el efluente de la peritonitis o el medio de control fueron analizadas como en A. C, Células mesoteliales omentales primarias fueron infectadas con el retrovirus etiquetado con Cop Green codificando el super represor IκB (IκB, paneles inferiores) o con el virus vacío etiquetado con Cop Green (vector vacío, paneles superiores). Las células fueron posteriormente co-estimuladas con TGF-β1 y IL-1β durante 30 minutos. Las células fijadas y permeabilizadas fueron teñidas para p65 NF-κB (amarillo en la imagen superpuesta. La fluorescencia verde indica células infectadas. La tecnología espectral confocal permite la discriminación entre la fluorescencia amarilla y verde emitida. Las imágenes superpuestas muestran las tinciones Hoechst 33342, anti-NF-κB y Cop green. Los datos son representativos de tres experimentos independientes.
- Fig. 4. La regulación a la baja de los marcadores epiteliales en las células mesoteliales estimuladas por citoquinas requiere la señal activadora de NF-κB. A, Western blots mostrando la expresión de cadherina E y ÎκB en el lisado celular total de las células mesoteliales. Las células mesoteliales omentales primarias fueron infectadas con el retrovirus Cop Green-tagged codificando el super represor ΙκΒ (ΙκΒ) o con el virus vacío etiquetado con Cop Green, y estimuladas durante 24 horas con TGF-\(\beta\)1 y IL-1\(\beta\), como se ha indicado (T/I); NT, c\(\ell\)1 c\(\text{elulas no tratadas. La expresi\(\text{on}\) de α -tubulina se utilizó como control. El histograma muestra los ratios de intensidad de banda cadherina E/α -tubulina de un experimento representativo. B, Efecto de la inhibición de NF-κB en la expresión del mRNA de cadherina E en células mesoteliales. Células mesoteliales MeT-5A se infectaron como se ha descrito anteriormente, con el retrovirus codificando el super represor IAB (IAB), o con el plásmido control vacío (CopG). Los cultivos de MeT-5A fueron seleccionados tras la infección mediante fluorescencia verde para obtener cultivos casi puros de células infectadas. Los cultivos fueron dejados sin tratar (NT, barras grises) o co-estimuladas durante 24 horas con TGF-β1 y IL-1β (barras negras), y se llevó a cabo una RT-PCR cuantitativa del ARN total. Los niveles de mRNA de la histona H3 fueron usados para la normalización. Las barras representan las medias ± SEM de las determinaciones de 5 experimentos independientes. C, Análisis por inmunofluorescencia confocal de la expresión de citoqueratinas. Las células infectadas y estimuladas como en A fueron fijadas, permeabilizadas, y teñidas con un anticuerpo monoclonal contra pancitoqueratina. Verde, fluorescencia Cop Green.
 - Fig. 5. ERK controla la regulación a la baja de cadherina E y citoqueratina durante la TEM de las células mesoteliales estimuladas por citoquinas. A, Western blot mostrando la expresión de ERK fosforilada (activa) (parte superior) en el lisado celular total de las células mesoteliales. CM omentales primarias fueron dejadas sin tratar (NT) o coestimuladas con $TGF-\beta1$ y $IL-1\beta$ por el tiempo indicado (TI). Como control, las muestras fueron probadas para la expresión total de ERK (parte inferior). B, CM omentales primarias incubadas durante 24 horas en fluido de diálisis (D), efluente no procedente de peritonitis (E) o efluente procedente de peritonitis (P) fueron analizadas como en A. C, Western blot mostrando la expresión de cadherina E y ERK fosforilada (activa) en el lisado de células mesoteliales total. Células mesoteliales omentales fueron pretratadas con DMSO o U0126 (20 μ m) y tratadas durante 24 horas con $TGF-\beta1$ y $IL-1\beta$ como se ha indicado. La detección de la expresión total de ERK fue empleada como control. D, análisis por inmunofluorescencia confocal de la expresión de citoqueratina. E, efecto de la inhibición de ERK en la expresión del mRNA de cadherina E en células mesoteliales. Las células fueron pretratadas con DMSO (barras grises) o U0126 (barras negras) y co-estimuladas durante los tiempos indicados con $TGF-\beta1$ y $IL-1\beta$ (TI); TI, controles no-estimulados. Se llevó a cabo una TI-TE cuantitativa del TE ARN total. Los niveles de mRNA de la histona TE experimentos independientes.

50

Fig. 6. *ERK controla la translocación nuclear de NF-κB y la actividad transcripcional inducida por la estimula*ción de TGF-β1 y IL-1β en las células mesoteliales. A, Análisis por inmunofluorescencia confocal de la expresión y localización de NF-κB. Células mesoteliales omentales fueron pretratadas con DMSO o U0126 (20 μ m) y co-estimuladas durante los tiempos indicados con TGF-β1 y IL-1β; NT, no tratadas. Células fijadas y permeabilizadas fueron teñidas con un anticuerpo policlonal contra p65 NF-κB. Se muestran los resultados de tres experimentos independientes representativos. B, efecto de la inhibición de ERK en la actividad transcripcional de NF-κB. Las células MeT-5A fueron transfectadas transitoriamente con el plásmido reportero KBF-luc junto con la luciferasa Renilla. Las células fueron pretratadas como se ha indicado con U0126 (20 μ m) y no tratadas (NT, barras grises) o co-estimuladas por los tiempos indicados con TGF-β1 y IL-1β (T/I, barras negras). Las barras representan la media ± SEM de las determinaciones de tres experimentos independientes llevados a cabo por duplicado. P<0.05 comparado con las células tratadas con DMSO. C, Células mesoteliales omentales fueron pretratadas con DMSO o U0126 (20 μ m) y tratadas como se ha indicado. Se llevó a cabo una RT-PCR cualitativa con primers específicos para COX-2 e Histona 3.

Fig. 7. ERK y NF-κB controla la expresión de Snail1 inducida por la coestimulación de TGF-β1 y IL-1β en células mesoteliales. A, Efecto de la inhibición de la expresión del mRNA de Snail1 en células mesoteliales omentales fueron pretratadas con DMSO (barras grises) o 20 μm de U0126 (barras negras) y co-estimuladas

con TGF-β1 y IL-1β (T/I); NT, no tratadas. Se llevó a cabo la RT-PCR cuantitativa del mRNA total. La expresión del mRNA de la Histona 3 fue usada para la normalización. Las barras representan la media ± SEM de las determinaciones de tres experimentos independientes. B, efecto de la inhibición de ERK en la inmunofluorescencia de la proteína Snail1. Células mesoteliales omentales fueron pretratadas con DMSO o U0126 (20 μm) y tratadas como se ha indicado durante 24 horas. LiCl (40 mM) y MG132 (10 μm) fueron añadidas a las células 4 horas antes del final de la estimulación. Las células fueron fijadas, permeabilizadas, teñidas con un anticuerpo policlonal contra Snail1 y sometidas a análisis de microscopía confocal. Los paneles muestran la tinción del núcleo celular con Hoechst 33342 (nuclei) y la expresión de Snail1 teñida por inmunofluorescencia. Los resultados mostrados son de tres experimentos representativos independientes. C, efecto de la inhibición de NF-κB en la expresión de mRNA de Snail1 en células mesoteliales. Cultivos del *omentum* o de la línea de células mesoteliales MeT-5A fueron infectadas con el retrovirus codificando el super represor IκB (IκB S) o con el plásmido de control vacío (CopG). Cultivos de MeT-5A fueron clasificados posteriormente a la infección por fluorescencia verde para obtener cultivos casi puros de células infectadas. Se dejaron los cultivos sin tratar (NT, gris) o se coestimularon durante 24 horas con TGF-β1 y IL-1β (negro), y se llevó a cabo una RT-PCR cuantitativa del ARN total. La expresión del mRNA de la Histona H3 fue usada para la normalización.

Fig. 8. La inhibición de ERK y NF-κB puede revertir la TEM en células mesoteliales transdiferenciadas de pacientes peritoneales sometidos a diálisis peritoneal ambulatoria continua (DPAC).

A, Western blot mostrando la expresión de pERK en cultivos monocapa de células mesoteliales derivadas del efluente peritoneal de pacientes sometidos a diálisis peritoneal ambulatoria continua (DPAC) o del omento normal. Monocapas confluentes de células mesoteliales omentales de donadores control o de pacientes DPAC fueron lisadas, y los lisados se enfrentaron con anticuerpos monoclonales contra pERK. Se detectó la expresión total de ERK como control. El histograma muestra los ratios pERK/intensidad total de banda ERK. *, P<0.05 donadores control comparados con pacientes DPAC. B, Fotomicrografías de monocapas confluentes de CM no epitelioides derivadas del efluente tratadas durante 48 horas con DMSO (NT) o U0126 (20 µM). C, Izquierda. Western blot mostrando la expresión de cadherina E en cultivos monocapa de CM derivadas de efluente o CM control de omento normal (O). Monocapas confluentes de células mesoteliales, tratadas con DMSO o con U0126 (20 μ M). Alternativamente, las células fueron infectadas con el retrovirus codificando para super represor IAB (IAB) o con el virus vacío (CopGreen). Después de 48 horas, las células fueron lisadas y los lisados sometidos a Western blotting con el anticuerpo monoclonal anticadherina E. Se detectó la expresión de α -tubulina como control. Derecha. Densitometría de los Western blots mostrando la expresión de cadherina E bajo el tratamiento de DMSO o U0126 (pacientes 1-6) o la infección con super represor IκB (IκB) o con el virus vacío (CopG) (pacientes 1-2 y 5-6). *, P<0.05 comparada con células tratadas con DMSO ó infectadas con el vector vacío. D. Top. Análisis por inmunofluorescencia confocal del efecto de la inhibición de ERK sobre NF-kB y la expresión de citoqueratina en el mesotelio peritoneal transicional. Monocapas confluentes de células mesoteliales derivadas del efluente (paciente 10), mostrando morfología no epitelioide, fueron tratadas con DMSO o U0126 por 56 h. Las células fueron teñidas con los anticuerpos policionales anti-p65NF- kB y monocionales anticitoqueratina. Los núcleos fueron teñidos con Hoechst 33342 (azul). *Inferior izquierda*. Los histogramas muestran las intensidades de fluorescencia del NF-κB nuclear teñidas de células tratadas como en la parte superior del panel (pacientes analizados 1-3, 9, 10) cuantificadas con el software LAS-AS de Leica. Las barras representan SEM. Fueron analizadas un total de 250 células por condición; AU: unidades arbitrarias. *Inferior-centro*. Western blots mostrando la expresión de citoqueratina y cadherina E en CM no epitelioides derivadas de efluente tratadas con DMSO (D) o U0126 (pacientes 11-13). Inferior-derecha. Cuantificación del western blot mostrado en el medio del panel. E. Expresión del mRNA de Snail1 y cadherina E en CM derivadas de efluente (pacientes 7-10) tratados con DMSO (gris) o U0126 (negro) durante 24 horas. Se llevó a cabo una RT-PCR cuantitativa del ARN total. Se usó la expresión del mRNA de la Histona H3 como normalización. Las barras representan las medias ± SEM de las determinaciones por duplicado en cuatro experimentos independientes usando células de tres pacientes diferentes. *, P<0.05 comparada con células tratadas con DMSO.

0 Exposición detallada de modos de realización

A continuación se ilustrará la invención mediante unos ensayos realizados por los inventores, que pone de manifiesto la especificidad y efectividad de inhibidores de MEK 1 y/o MEK 2 para el tratamiento de la fibrosis peritoneal.

El tratamiento de células mesoteliales primarias con el efluente de la peritonitis o con TGF-β1 más IL-1β induce alteraciones morfológicas y bioquímicas consistentes con EMT.

El efluente derivado de las células mesoteliales de pacientes sometidos a diálisis muestra cambios reminiscentes de la TEM, y estos cambios se correlacionan con la diálisis peritoneal y episodios de peritonitis o hemoperitoneo. Para testar si estos cambios pueden ser producidos *ex vivo*, se expusieron células mesoteliales procedentes del omento de donantes sanos (Fig. 1), al efluente peritoneal de pacientes que sufren peritonitis aguda durante la diálisis peritoneal. El tratamiento con el efluente de la peritonitis durante 72 horas induce la pérdida de las uniones intercelulares, la dispersión celular, y la adopción de un fenotipo fibroblástico en huso (Fig. 1A), todas las cuales son características de TEM. El análisis mediante inmunofluorescencia confocal mostró que el tratamiento regulaba a la baja la expresión de citoqueratinas, un marcador epitelial altamente expresado en células mesoteliales (Fig. 1B). La expresión de cadherina E, otro marcador epitelial, fue marcadamente reducida después de 24 horas (Fig. 1C). El efluente de la peritonitis indujo un aumento en la expresión de proteínas como fibronectina, cadherina E, cuya expresión está asociada con EMT (Fig. 1C y 5B). Se han confirmado estos resultados en un sistema experimental no diálitico mediante coestimulación

de las células mesenquimales con TGF- β 1 y IL-1 β . El tratamiento combinado se usó a lo largo de este estudio puesto que aunque la estimulación individual con cada citoquina induce cambios asociados con las células mesenquimales que sufren TEM, como el descenso de cadherina E y el incremento de la expresión de las integrinas β 1 y α 2 (Fig. 2 A-B), se obtuvo un efecto aditivo con la combinación de ambas citoquinas. De manera similar al tratamiento con el efluente de la peritonitis, TGF- β 1 y IL-1 β indujeron un fenotipo en huso (Fig.2A), y la pérdida de los marcadores epiteliales y la adquisición de los mesenquimales (Fig. 2B-C). Estos experimentos indicaron que ambos, el efluente de las peritonitis y TGF- β 1 más IL-1 β inducían una TEM genuina en células mesenquimales primarias.

La regulación a la baja de cadherina E y citoqueratina en CM, inducida por TGF- $\beta 1$ y IL- 1β , es mediada por 0 - NF- κB

Existe una evidencia creciente de que la activación de NF-κB tiene un papel en los estadios iniciales de la TEM en la progresión tumoral. Encontramos que TGF-\(\beta\)1 y IL-1\(\beta\), tanto en combinación como por separado, potencialmente inducen la traslocación nuclear de NF-κB (Fig. 3A, Suppl. Fig. 3); el efluente de la peritonitis dio el mismo resultado (Fig.3B). Para testar si esta vía de activación da lugar a la TEM observada, infectamos CM primarias con un vector retroviral bicistrónico pRV-IRES-CopGreen codificando el super represor $I\kappa B\alpha$, una forma mutante no degradable (S32A y S36A) del represor I κ B α . El super represor I κ B α bloquea la translocación nuclear de NF-kB inducida por TGF- β 1 y IL-1 β , mientras que la infección con el vector retroviral pRV-IRES-CopGreen no tuvo ningún efecto (Fig. 3C). La infección con el vector con el super represor $I\kappa B\alpha$ también interfirió con los cambios bioquímicos asociados con TEM. En células estimuladas con TGF- β 1 más IL-1 β por 24 horas, la expresión del super represor I κ B α , limita la regulación a la baja de la expresión de la proteína cadherina E, mientras ésto no fue afectado en células infectadas con el vector control pRV-IRÉS-CopGreen (Fig. 4A). Este efecto fue también evidente a nivel del mRNA, aunque la magnitud de este efecto del super represor $I_{\kappa}B_{\alpha}$ fue limitada por la baja eficiencia de la infección viral en estas células (10-40%). Este experimento fue repetido en la línea de células mesoteliales humanas MeT-5A, que sufre TEM bajo el tratamiento con TGF- β 1 más IL- 1β de forma similar a las MC. Células MeT-5A retroviralmente infectadas y purificados por FACS fueron estimuladas, y se demostró mediante RT-PCR cuantitativa que la expresión del super represor $I\kappa B\alpha$ bloquea completamente la regulación a la baja de la cadherina E (Fig. 4B). La expresión del super represor $I\kappa B\alpha$ en CM primarias también limita la inhibición de la citoqueratina inducida por citoquinas, como se demostró mediante el análisis por inmunofluorescencia confocal después de 56 horas de tratamiento (Fig. 4C). La vía de activación de NF-κB por tanto, controla tanto la regulación a la baja de la cadherina E como de la citoqueratina durante la TEM en CM primarias.

La regulación a la baja de cadherina E y citoqueratina durante la TEM en CM es controlada por la vía ERK.

Se han analizado los eventos aguas arriba que tienen lugar para la activación de NF-κB en este sistema experimental. Recientemente se ha reportado en varios modelos celulares han documentado un papel para las MAP quinasas, particularmente las ERKs, en el establecimiento del TEM. El tratamiento de las CM con TGF-β1 más IL-1β indujo una fuerte fosforilación de ERK (Fig. 5A), y el efluente de la peritonitis tiene un efecto similar (Fig. 5B).

Para examinar el papel de la activación de ERK en la TEM, se pretrataron las CM con U0126, un inhibidor farmacológico de MEK-1, el activador aguas arriba de ERK. U0126 suprimió de manera marcada la regulación a la baja de cadherina E y de citoqueratina mediado por citoquinas Fig. 5C y D). U0126 también inhibe la regulación a la baja de la expresión de mRNA de cadherina E mediado por citoquinas en todos los tiempos analizados (Fig. 5E). Resultados similares se obtuvieron con el inhibidor de MEK-1 PD98059 (20 μM). Estos resultados sugieren robustamente que la activación de la vía ERK media la regulación a la baja de cadherina E y citoqueratina inducida por TGF- β1 y IL-1β.

ERK regula la localización nuclear de NF- κB y la actividad transcripcional durante la TEM inducida por citoquinas.

Se investigó si el papel de la señalización ERK en la TEM podría ser mediada a través de la inducción de la actividad de NF- κ B. El pretratamiento de las CM con U0126 redujo la intensidad y la persistencia de la tinción nuclear de NF- κ B bajo el tratamiento combinado de citoquinas (Fig. 6A). Para testar el efecto de ERK sobre la actividad transcripcional de NF- κ B se transfectaron CM con una construcción *reporter* de luciferasa con múltiples sitios de unión a NF- κ B (KBF-luc). El pretratamiento de estas células con U0126 redujo marcadamente la actividad luciferasa inducida por citoquina (Fig. 6B). Para examinar directamente el papel de ERK en la expresión génica mediada por NF- κ B, se analizó el efecto de U0126 en la expresión de ciclooxigenasa-2 (COX-2), un gen cuya expresión es regulada por NF- κ B y es inducida durante la TEM. El pretratamiento con U0126 potencialmente inhibió la expresión del mRNA de COX-2 inducido porTGF- β 1 más IL-1 β (Fig. 6C), demostrando un papel para ERK en la regulación de la expresión génica de NF- κ B durante la TEM.

La vía de activación ERK/NF-KB regula la expresión de Snail1.

50

Se analizaron los eventos de señalización aguas debajo de NF-κB que acontecen por la inducción de la TEM. Snail1 es el miembro mejor conocido de la familia de los reguladores transcripcionales de dedos de zinc involucrados en la inducción de la TEM. Snail1 directamente bloquea la transcripción del promotor de cadherina E y parece estar involucrado en la represión génica de citoqueratina. La RT-PCR cuantitativa mostró que la estimulación de CM primarias con TGF-β1 y IL-1β induce un incremento en la expresión de mRNA de Snail1, incrementando la expresión y loca-

lización nuclear (Fig. 7B, top). De manera similar a su efecto en la expresión del mRNA de Snail1, el pretratamiento con U0126 disminuyó marcadamente la expresión de la proteína Snail1 en las células estimuladas por citoquinas (Fig. 7B, abajo).

Para analizar el papel de la actividad de NF- κ B en la expresión de Snail1, se infectaron CM primarias con el retrovirus codificante del super represor $I\kappa$ B α o el vector vacío pRV-IRES-CopGreen, y se estimularon con TGF- β 1 y IL-1 β . La expresión exógena del super represor $I\kappa$ B α redujo parcialmente la expresión del mRNA de Snail1 inducida por citoquinas (Fig 7C, izquierda). Para controlar la eficiencia limitada de la infección de estas células, este experimento fue repetido en cultivos de células MeT5A retroviralmente infectadas y purificadas por FACS. En estas células, la expresión del del super represor $I\kappa$ B α inhibió efectivamente la expresión de la expresión del mRNA de Snail1 inducido por citoquinas (Fig. 7, derecha). Estos resultados sugieren robustamente un papel casual de la activación de la vía ERK/NF- κ B en la expresión de Snail1 en CM.

La inhibición de ERK ó NF-kB restaura el fenotipo epitelial en las CM transdiferenciadas por el efluente perito-15 neal.

La TEM de CM peritoneales en pacientes sometidos a DP está unida a la disfunción de la membrana peritoneal (MP), esto es, a un fallo en la ultrafiltración. Dado el papel de las vías de señalización de ERK y NF-κB en la génesis de la TEM en CM estimuladas por citoquinas, en cultivo, se analizó si esta vía puede controlar el mantenimiento del fenotipo mesenquimal en el efluente de la DP derivado de CM que han realizado ya la TEM in vivo. Con este fin, se obtuvieron CM de los efluentes de 13 pacientes sometidos a DP (Tabla 1). Los parámetros empleados para evaluar los distintos estadios de transdiferenciación de estas células fueron tanto morfológicos (de tipo epitelioide y no epitelioide) y bioquímico (niveles reducidos de cadherina E y citoqueratinas, expresión elevada de VEGF y vimentin), como ya se ha descrito en otros estudios. El análisis por Western Blot mostró que, comparado con las muestras de control del omento, CM no tratadas con el efluente derivado de la DP presentaron un incremento significativo en los niveles de ERK activo (Fig. 8A). Las CM tratadas con el efluente derivado de la DP fueron tratadas con U0126 o infectadas con el retrovirus codificando el super represor $I_{\kappa}B_{\alpha}$. El análisis por microscopía de las CM no epitelioides derivadas de efluentes mostró que el tratamiento con U0126 revertía las células a la morfología epitelial (Fig. 8B). El análisis por Western Blot mostró que la expresión de cadherina E, tanto en las CM derivadas de efluente tanto epitelioides como no epitelioides, fue restaurada tanto en las células tratadas con U0126 como en las que expresaban el super represor $I\kappa B\alpha$ (Fig. 8C). Más aún, la inmunofluorescencia confocal mostró que el tratamiento con U0126 incrementó los niveles de citoqueratina en las CM no epiteliales de los efluentes (Fig. 8D). U0126 también limitó la translocación nuclear de NF-kB (Fig. 8D). Finalmente, el tratamiento de CM no epitelioides derivadas del efluente con U0126 también reguló a la baja la expresión del mRNA de Snail1 y sobrereguló la expresión de mRNA de cadherina E (Fig. 8E). La reversión de la TEM por el bloqueo de ERK o de NF-kB en estos experimentos soporta de manera robusta el papel de la activación de la vía ERK/ NF-κB en el mantenimiento del fenotipo mesenquimal en el peritoneo de pacientes sometidos a DP.

40 Aislamiento y cultivo de células mesoteliales

Células mesoteliales humanas (CM) se obtuvieron por la digestión de muestras del omento de pacientes que fueron sometidos a cirugía abdominal no relacionada. Las muestras fueron digeridas con una solución al 0.125% de tripsina conteniendo un 0.01% EDTA. Las células fueron cultivadas en medio Earle's M199 suplementado con un 20% de suero fetal de ternero, 50 U/ml de penicilina, $50\,\mu\text{g/ml}$ de estreptomicina, y un 2% de Biogro-2 (conteniendo insulina, transferrina, etanolamina, y putrescina) (Biological Industries, Beit Haemek, Israel). Para inducir la TEM, las CM fueron tratadas con una combinación del factor de crecimiento transformante recombinante TGF- β 1 (0.5 ng/mL) e interleucina (IL)- 1β (2 ng/mL) (R&D Systems, Minneapolis, MN). Aunque tanto TGF- β 1 como IL- 1β por separado son capaces de inducir cambios fenotípicos TEM, la estimulación combinada induce una genuina TEM. Las dosis de citoquinas usadas se encuentran en el rango de aquellas detectadas en los fluidos de la diálisis peritoneal en presencia de peritonitis.

Las CM derivadas del efluente fueron aisladas de 13 pacientes sometidos a DP clínicamente estables usando un método descrito previamente (López-Cabrera *et al.*, 2006. *Perit Dial Int.* 26: 26-34). Las células fueron cultivadas como anteriormente se ha descrito, y tras 10 o 15 días los cultivos alcanzaron confluencia y fueron separados en un radio de 1:2. Las características morfológicas de células en cultivos confluentes fuero comparadas y permanecieron estables durante dos o tres pases. Los cultivos de CM confluentes de los efluentes de PD mostraron uno de los principales fenotipos, de tipo epitelial (E) o no epitelial (NE), que permanecieron estables durante dos o tres pases celulares. De los 13 cultivos de CM derivadas de efluentes evaluados, seis tuvieron el fenotipo de tipo epitelial, y siete tuvieron el fenotipo no epitelial. Para evitar la contaminación de fibroblastos, la pureza del omento y de los cultivos de CM derivadas del efluente se determinó mediante la evaluación de los marcadores estándar molécula de adhesión intercelular (ICAM)-1 y citoqueratinas. Las CM expresaron altos niveles de ICAM-1 y bajos niveles del marcador específico de fibroblastos. Cultivos de CM fueron también negativos para el marcador endotelial CD31 y el marcador de macrófagos CD45 (Fig. 1). Cuando aislamos tanto el omento como las CM derivadas del efluente peritoneal, nosotros generalmente obtenemos poblaciones de células altamente purificadas, con células contaminantes <5% como se determinó por análisis FACS. Se descartaron de forma rutinaria las muestras purificadas con contaminantes superiores al 5%.

El estudio fue aprobado por el comité ético del Hospital Universitario de la Princesa (Madrid, España). Se obtuvo el consentimiento informado de los pacientes sometidos a DP incluidos en este estudio para el uso de muestras de efluente y donadores de omento antes de la cirugía optativa.

La línea de células mesoteliales humanas MeT-5A (ATCC, Rockville, MD) fue cultivada en medio Earle's M199 y estimuladas con las mismas dosis de TGF-β1 y IL-1β. Met-5A es una línea de células mesoteliales no transformadas corrientemente usadas en la investigación de células mesoteliales peritoneales; los datos obtenidos con esta línea celular muestran concordancia con los datos obtenidos con células primarias.

Análisis por Western Blot

15

20

Se lisaron monocapas de CM en un buffer RIPA modificado que contenía 50 mM Tris-HCl, pH 7.4;1% NP-40; 0.1%SDS; 0.25% Na-deoxycholate; 150 mM NaCl; 1 mM EDTA; 1 mM EGTA; 1 mM PMSF; 1 μg/ml de aprotinina, leupeptina y pepstatina; y 25 mM NaF. Cantidades iguales de proteínas fue resuelta por SDS-PAGE. Las proteínas fueran transferidas a membranas PVDF (Millipore, Bedford, VA) y probado con anticuerpos usando procedimientos estándar. La unión de anticuerpos PVDF se detectó por quimioluminiscencia con ELC (Amersham Life Sciences, Little Chalfont, UK).

Microscopía confocal e inmunofluorescencia

Las células fueron fijadas durante 20 minutos en 3% de formaldehído en PBS, permeabilizadas en 0.2% Tritón X-100/PBS por 5 min, y bloqueadas con 2% BSA por 20 min. Para la tinción de cadherina E, las células fueron fijadas y permeabilizadas en metanol frío por 10 minutos. Para la tinción de Snail, las células fueron pretratadas con LiCL y MG132 para bloquear la fosforilación de Snail, ubiquitinación u degradación subsiguiente. Los anticuerpos secundarios (conjugados a Alexa-647, -488 and -541) y Hoechst 33342 fueron de Pierce Chemical Co. (Rockford, IL). Las imágenes confocales se obtuvieron usando un microscopio espectral confocal Leica SP5. La tecnología espectral permite la discriminación entre fluorescencia verde y amarilla. La cuantificación de la intensidad nuclear NF-κB se llevó a cabo usando el software Leica LAS-AF. Brevemente, el núcleo fue delimitado empleando el marcador Hoechst, y la medida de la intensidad de fluorescencia del NF-κB marcado fue cuantificada. Un mínimo de 3 campos diferentes por condición fueron adquiridos, con un número de células entre 30 y 50 por condición cuantificada.

35 Infección de células MeT5A y CM derivadas del omento con vectores retrovirales

Células MeT5A y CM derivadas del omento fueron infectadas con el vector retroviral pRV-IRES-CopGreen (Genetrix, Madrid, Spain) codificando el super represor IκBα mutante, con las mutaciones S32A y S36A, o con el vector pRV-IRES-CopGreen vacío como control. Un paso crítico en la activación de NF-κB es la fosforilación de IκB por el complejo quinasa IκB de alto peso molecular (IKK). Las mutaciones S32A y S36A vuelven IκBα insensible a la fosforilación por IKK. 24 horas antes de la infección, la CM fueron sembradas en 6 placas (2 x 105 células por placa) y el retrovirus produciendo células 293T fueron sembradas en 3 x 106 por 10 cm de placa. Para la infección, los sobrenadantes de las células 293T fueron filtrados a través de un filtro de 0.45-μm (Whatman, Dassel, Germany), y 5 μg/ml polibreno (Sigma-Aldrich, St. Louis, Missouri, USA) se añadió al filtrado. Así pues, el medio fue removido de las CM y repuesto con células 293T que contienen el retrovirus. Este proceso fue repetido dos veces en un intervalo de 24 horas. 24 horas después de la exposición del retrovirus, la influencia de la infección fue monitorizada por microscopía de fluorescencia (Cari Zeiss, Standort Göttingen, Germany) o análisis FACS (BD FACS Canto, Becton-Dickinson Laboratories, Mountain View, CA). El análisis FACS mostró que el porcentaje de CM primarias infectadas era del 10 al 40%, indicando que la eficiencia de la infección podría dar lugar a una estimación a la baja del efecto del super represor IκBα. Como control de esto, cultivos puros de células MeT5A fueron obtenidas por separación con el separador celular Dako MoFlo cell sorter (Glostrub, DK).

Transfección celular y ensayo de luciferasa

55

50

La actividad transcripcional de NF- κ B fue medida por infección transitoria de las células MeT5A con el plásmido reportero KBF-luc y el subsiguiente ensayo de actividad de luciferasa. 2 x 10^5 células fueron transfectadas con 2 μ g del plásmido reportero KBF-luc junto con 500 ng del plásmido reportero pRL-null, con un gen Renilla Luciferase sin promotor (Promega, Madison, Wl). La transfección se llevó a cabo incubando las células durante 4 horas con una mezcla de ADN y lipofectamina y un ration de 1:2.5 (Lipofectamine 2000; Invitrogen, Carlsbad, California, USA) en un medio libre de suero. Después de la transfección, las células fueron pretratadas toda una noche con un vehículo (DMSO) o U0126 ($20\,\mu$ M). Las células fueron estimuladas con TGF- β 1 y IL- 1β por los tiempos indicados. La actividad luiciferasa se midió con Dual-Luciferase Reporter Assay System (Promega), de acuerdo con las instrucciones del fabricante, y determinadas en un Sirius Single Tube luminometer (Berthold Detection Systems GmbH, Pforzheim, Germany). Todos los experimentos fueron llevados a cabo por duplicado.

RT-PCR

Se extrajo el ARN total se extrajo con el RNeasy kit (Qiagen GmbH. Hilden, Germany), y se obtuvo el ADN complementario de 500 ng del ARN total usando el Omniscript RT kit (Qiagen). La PCR cuantitativa se llevó a cabo en un LightCycler (Roche Diagnostics GmbH, Mannheim, Germany) usando el SYBR Green kit (Roche Diagnostics GmbH) y el siguiente set de primers específicos SEO ID NO: 51 y SEO ID NO: 52 para cadherina; SEO ID NO: 53 y SEQ ID NO: 54 para Snail1; SEO ID NO: 55 y SEO ID NO: 56 para la histona H3 (usada para la normalización). La temperatura de hibridación para la amplificación de cadherina E y H3 fue 62°C, y se midió la fluorescencia al final de cada ciclo de elongación. Para la amplificación de Snail, la temperatura de hibridación fue de 55°C y la fluorescencia se midió a 88°C después de cada ciclo de elongación. Todos los experimentos se llevaron a cabo por duplicado. Tras la amplificación, los productos de PCR se confirmaron por el análisis de la curva de fusión, y electrofóresis en gel. Los niveles de mRNA de COX-2 se estimaron por 35 ciclos de PCR cualitativa con una temperatura de alineamiento de 63°C y los siguientes primers SEQ ID NO: 57 y SEQ ID NO: 58.

Análisis estadístico

El significado estadístico se determinó con un test t con OriginPro7 software (OriginLab Co.). Los valores P<0.05 fueron considerados significativos.

REIVINDICACIONES

- 1. Uso de una composición que comprende el agente U0126 para la elaboración de un medicamento para el tratamiento de la fibrosis peritoneal.
- 2. Uso según la reivindicación 1, donde dicha composición además comprende adyuvantes o vehículos farmacéuticamente aceptables.
- 3. Uso según cualquiera de las reivindicaciones 1 ó 2, donde la composición se presenta en una forma adaptada a la administración intraperitoneal, intratecal, intravenosa, intramuscular, subcutánea, intraventricular, oral, enteral, parenteral, intranasal o dérmica.
- 4. Uso según cualquiera de las reivindicaciones 1 a 3, donde la fibrosis peritoneal se identifica mediante la determinación de una cantidad menor de cualquier ácido nucleico transcrito que codifica para MEK 1 y/o MEK 2, o de una cantidad menor de proteína MEK 1 y/o MEK 2, en comparación con células normales.

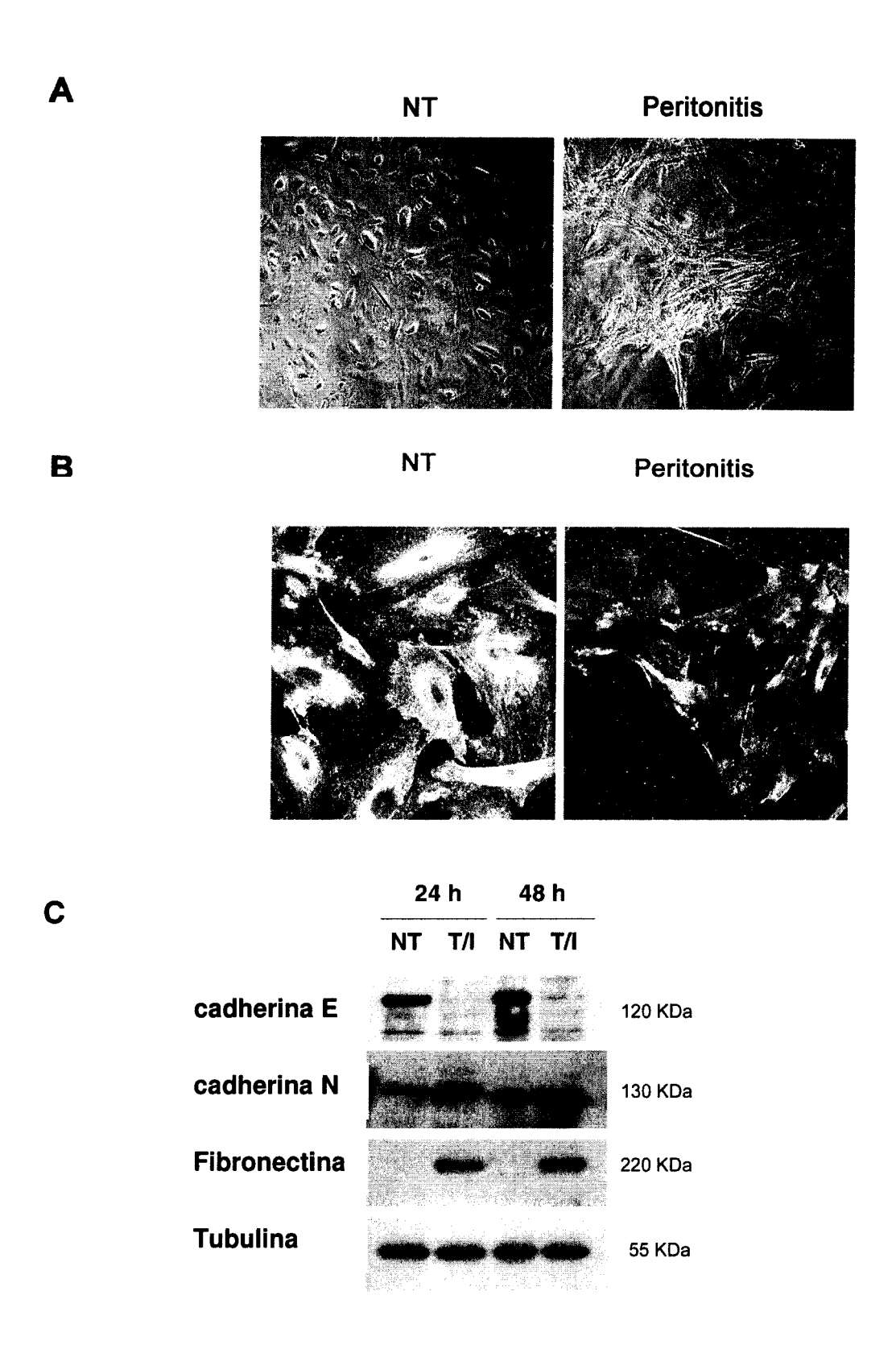


FIG. 1A, 1B y 1C.

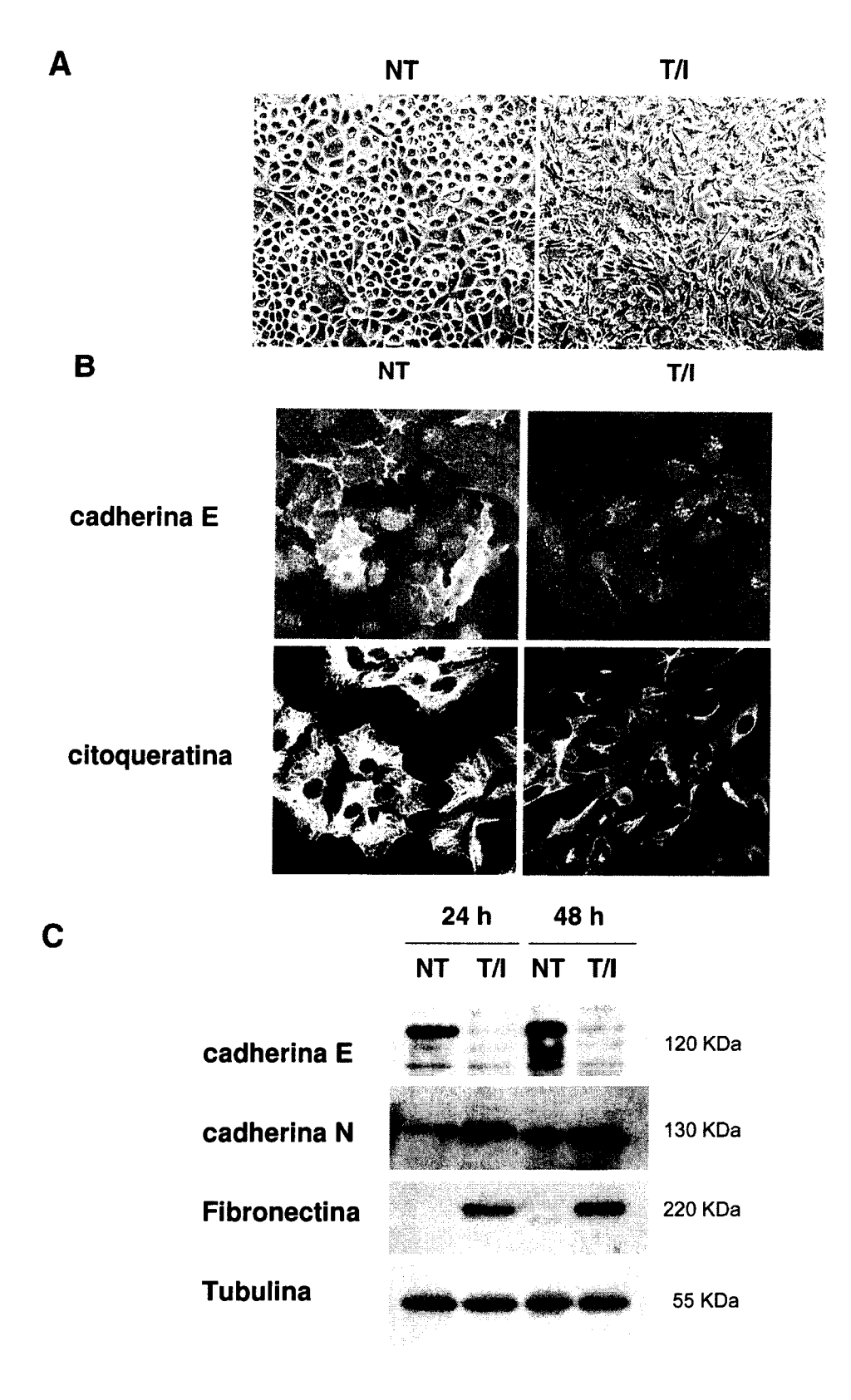


FIG. 2A, 2B y 2C.

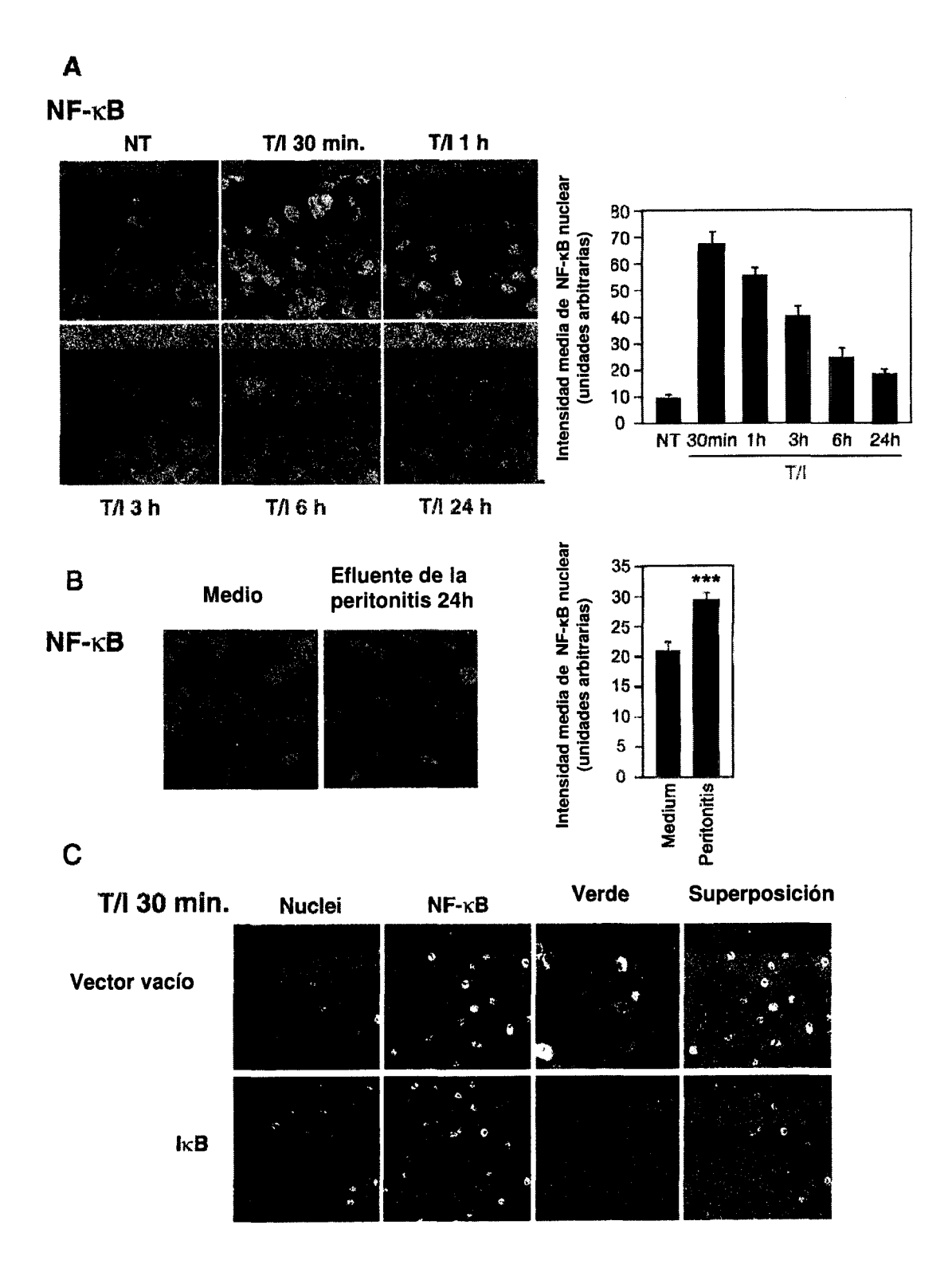
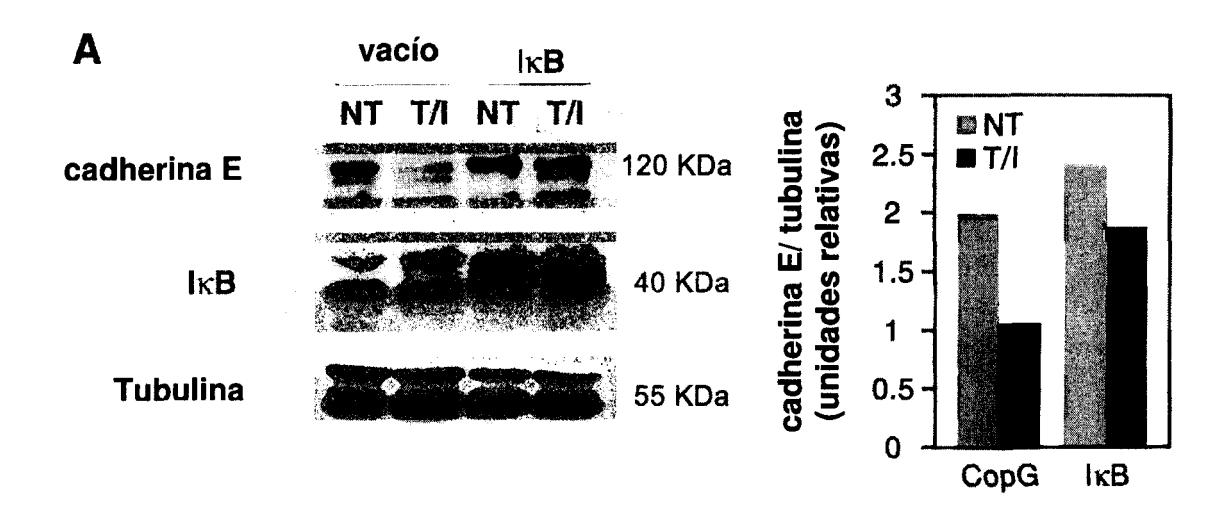
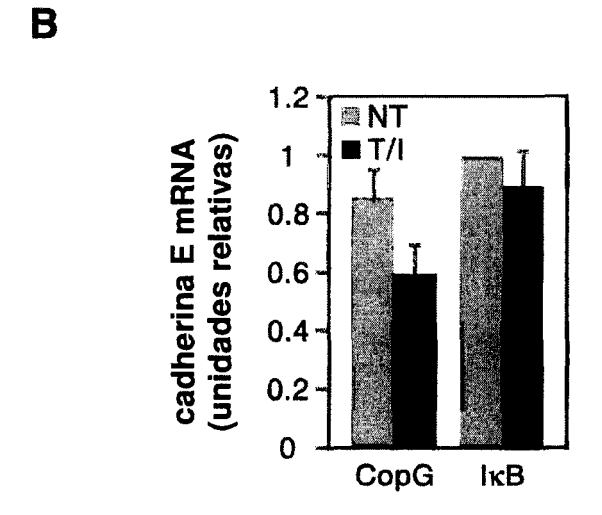


FIG. 3A, 3B y 3C.





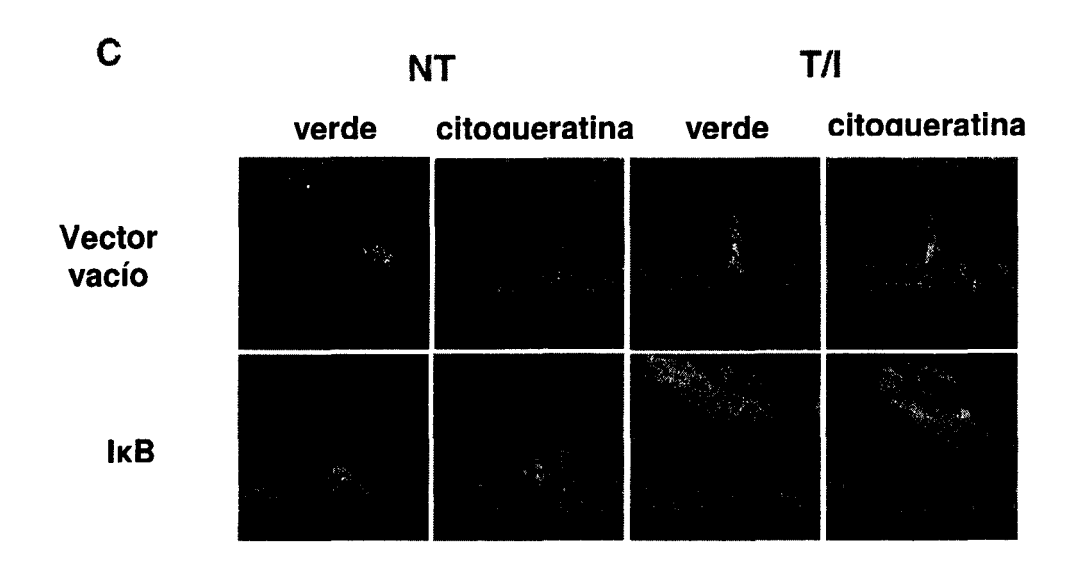
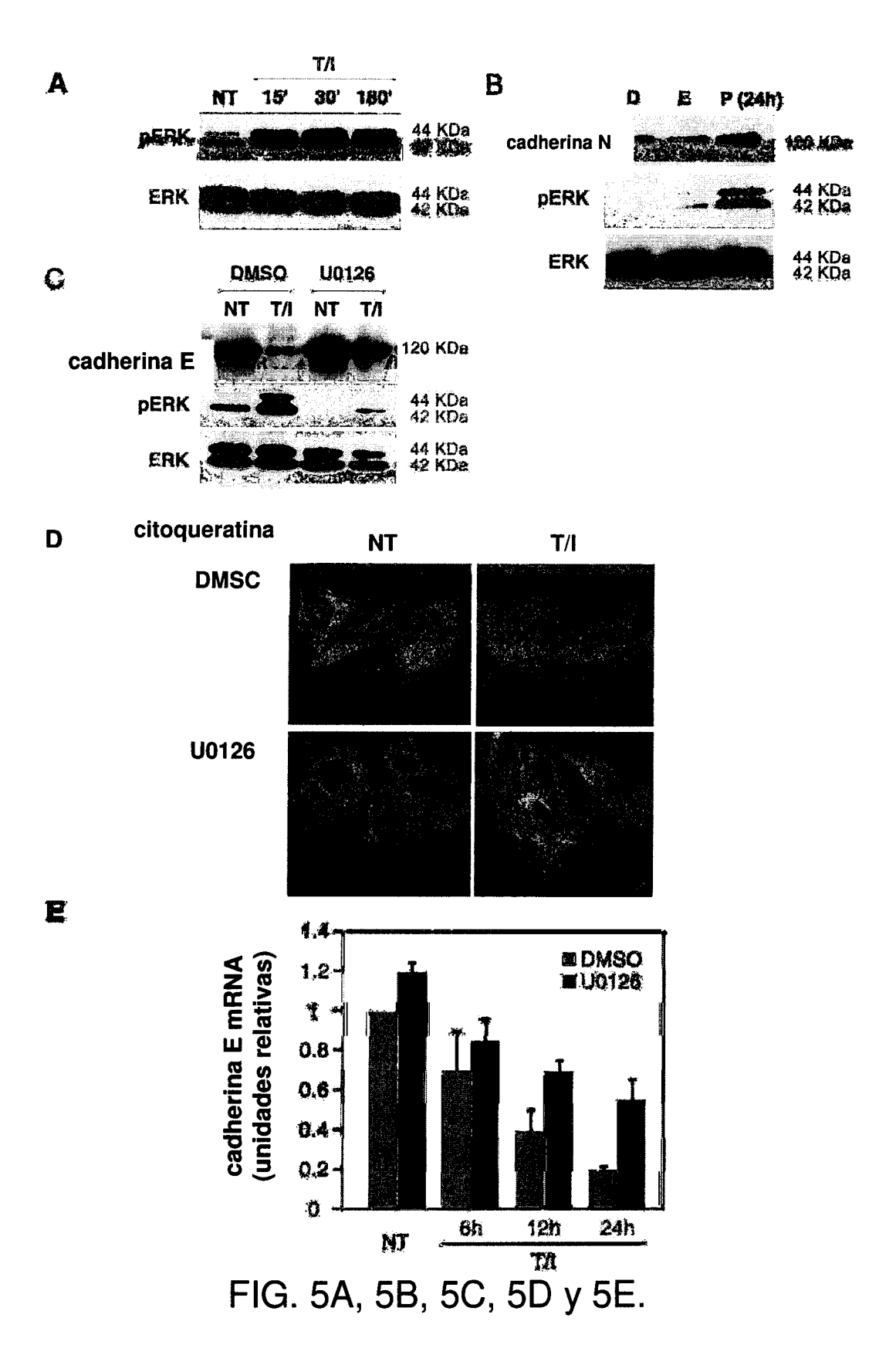


FIG. 4A, 4B y 4C.



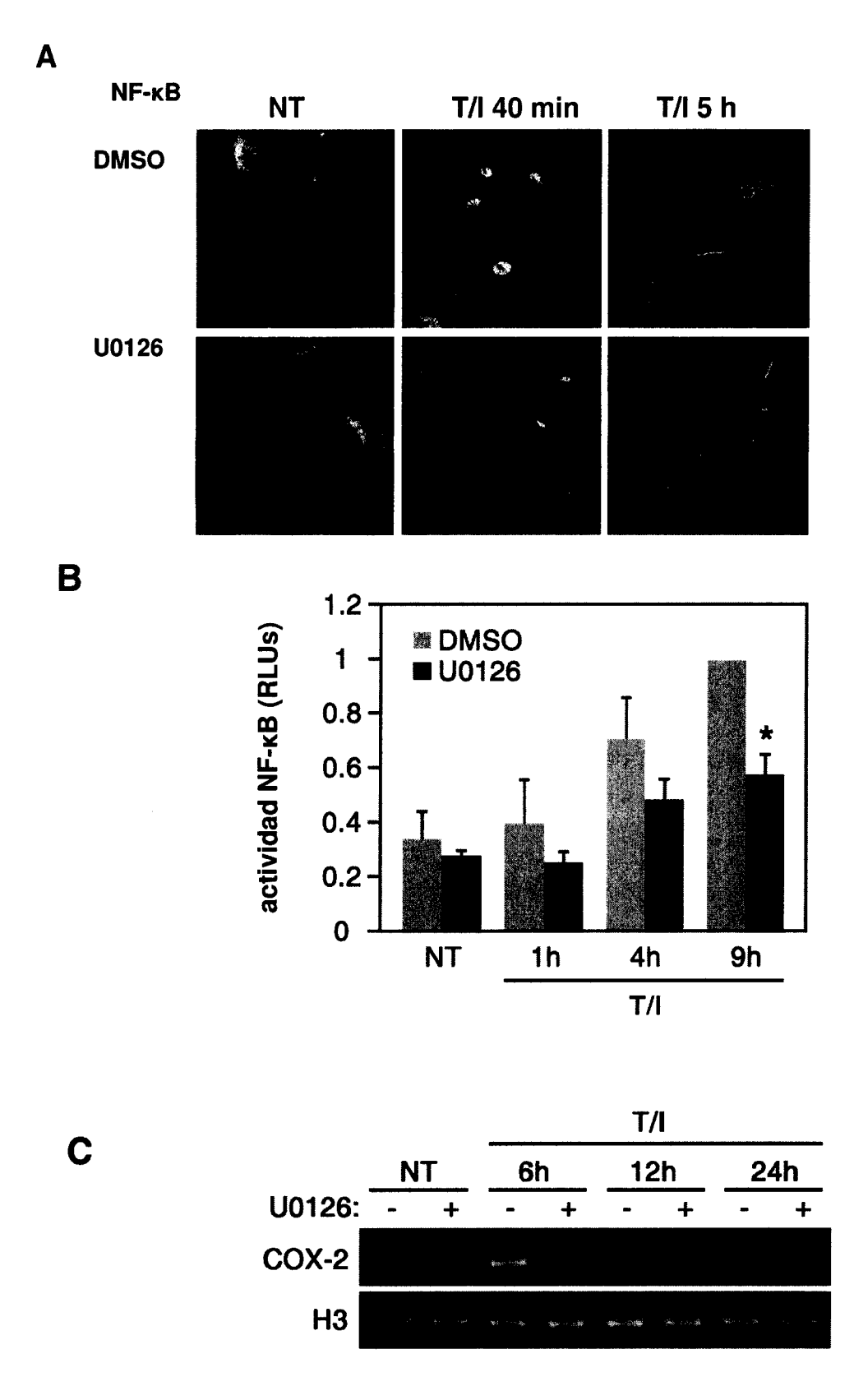


FIG. 6A, 6B y 6C.

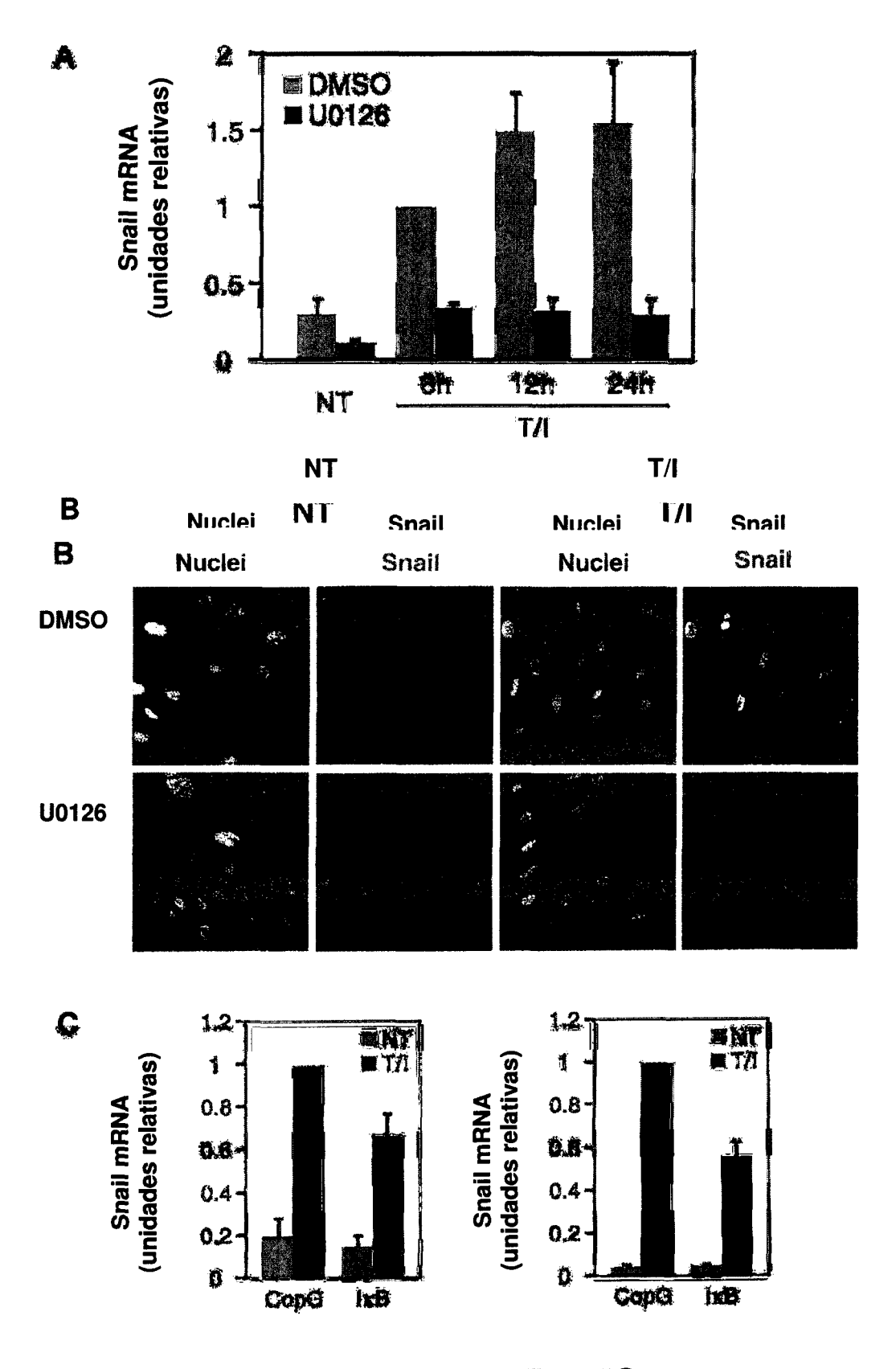


FIG. 7A, 7B y 7C.

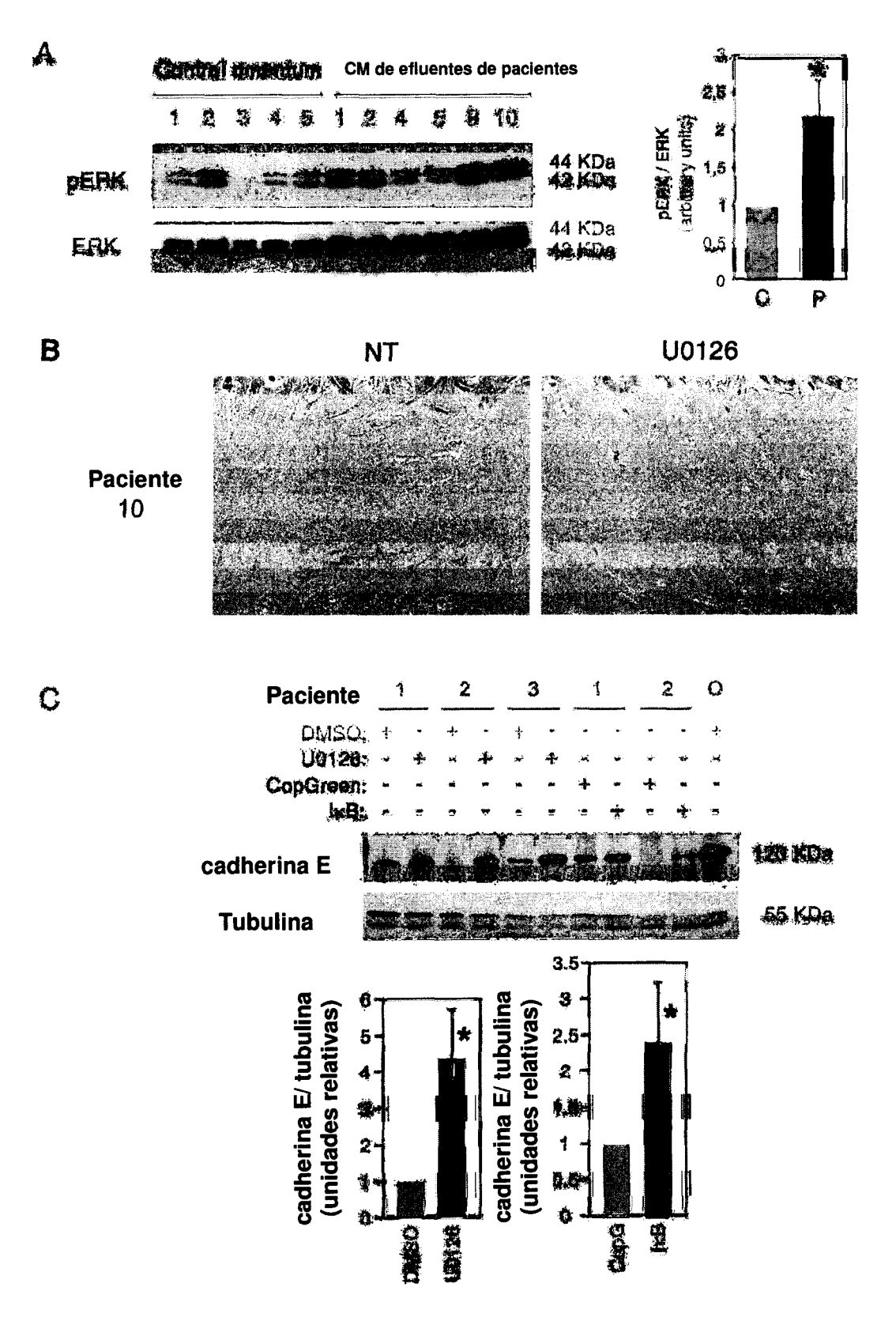


FIG. 8A, 8B y 8C.

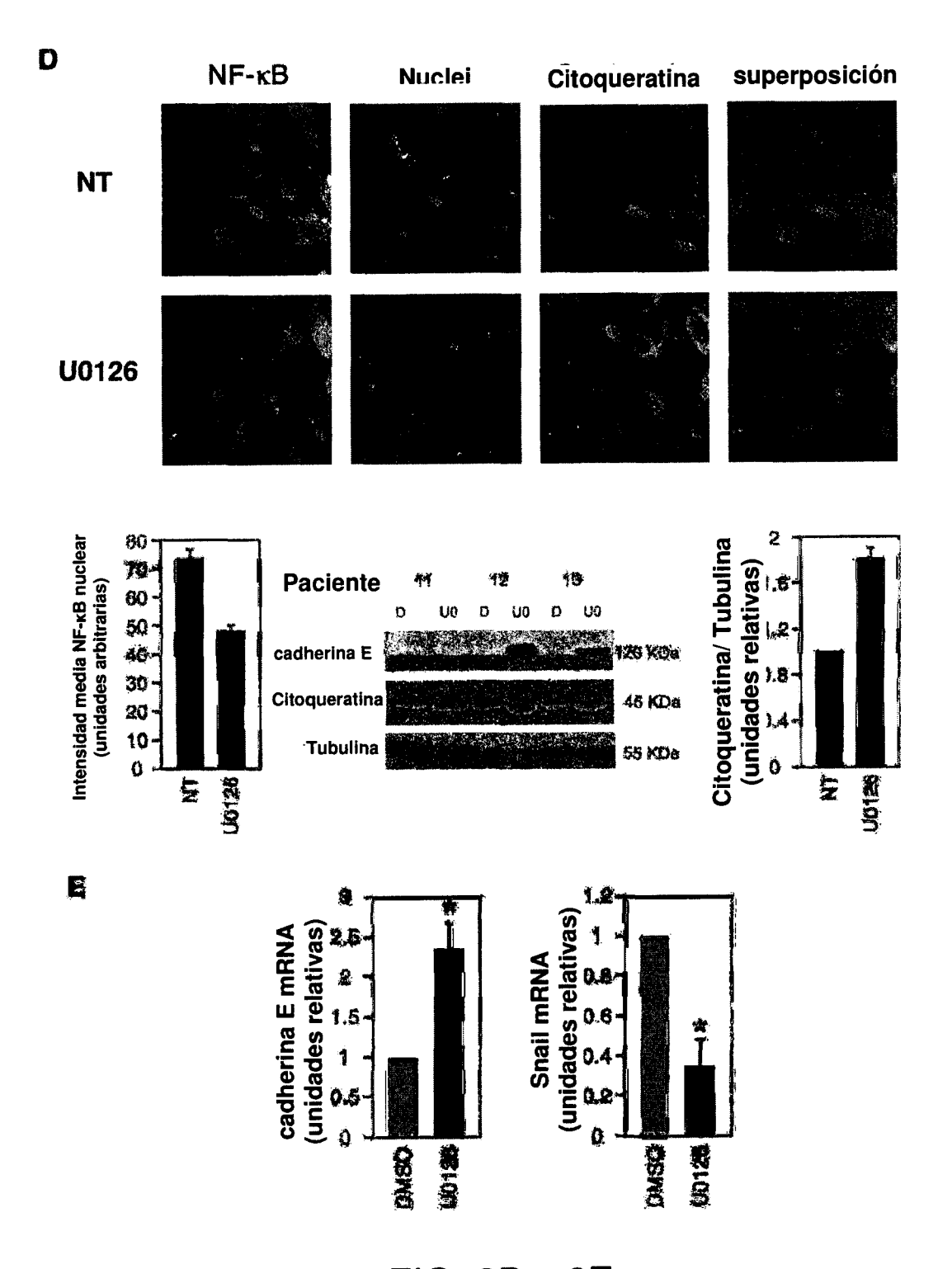


FIG. 8D y 8E.

LISTA DE SECUENCIAS

5	<110> Centro Nacional de Investigaciones Cardiovasculares (CNIC) Consejo Superior de Investigaciones Científicas (CSIC)																
3	<120> IN	HIBII	OORE	S DE	LA M	EK 1/	2 PAR	RA EL	TRA	ΓΑΜΙΙ	ENTO	DE L	A FIE	ROSI	S PER	RITON	IEAL
10	<130> ES1997.1																
	<160> 58																
15	<170> Pa	tentIn	versić	5n 3.4													
	<210> 1 <211> 39	3															
20	<212> PF																
20	<213> He<400> 1	mo sa	ipiens														
25	\ 4 00>1										_ 5						
23		Met 1	Pro	Lys	Lys	Lys 5	Pro	Thr	Pro	Ile	GIn 10	Leu	Asn	Pro	Ala	Pro 15	Asp
30		Gly	Ser	Ala	va1 20	Asn	Gly	Thr	Ser	Ser 25	Ala	Glu	Thr	Asn	Leu 30	Glu	Ala
35		Leu	Gln	Lys 35	Lys	Leu	Glu	Glu	Leu 40	Glu	Leu	Asp	Glu	G]n 45	Gln	Arg	Lys
		Arg	Leu 50	Glu	Ala	Phe	Leu	Thr 55	Gln	Lys	Gln	Lys	∨a1 60	Gly	Glu	Leu	Lys
40		Asp 65	Asp	Asp	Phe	Glu	Lys 70	Ile	Ser	Glu	Leu	G]y 75	Ala	Gly	Asn	Gly	G]y 80
45		٧a٦	٧a٦	Phe	Lys	va1 85	Ser	His	Lys	Pro	Ser 90	Gly	Leu	٧a٦	Met	А]а 95	Arg
50		Lys	Leu	Ile	ніs 100	Leu	Glu	Ile	Lys	Pro 105	Ala	Ile	Arg	Asn	Gln 110	Ile	Ile
55		Arg	Glu	Leu 115	Gln	val	Leu	His	Glu 120	Cys	Asn	Ser	Pro	Туг 125	Ile	۷al	Gly
		Phe	Tyr 130	Gly	Ala	Phe	Tyr	Ser 135	Asp	Gly	Glu	Ile	Ser 140	Ile	Cys	Met	Glu
60		ніs 145	Met	Asp	Gly	Glу	Ser 150	Leu	Asp	Gln	val	Leu 155	Lys	Lys	Ala	Gly	Arg 160
65		Ile	Pro	Glu	Gln	Ile 165	Leu	Gly	Lys	Val	Ser 170	Ile	Ala	val	Ile	Lys 175	Glу

		Leu	Thr	Tyr	Leu 180	Arg	Glu	Lys	His	Lys 185	Ile	Met	His	Arg	Asp 190	Val	Lys
5		Pro	Ser	Asn 195	Ile	Leu	val	Asn	Ser 200	Arg	Gly	Glu	Ile	Lys 205	Leu	Cys	Asp
10		Phe	Gly 210	val	Ser	Gly	G1n	Leu 215	Ile	Asp	Ser	Met	Ala 220	Asn	Ser	Phe	val
15		G]y 225	Thr	Arg	Ser	Tyr	Met 230	Ser	Pro	Glu	Arg	Leu 235	Gln	Gly	Thr	His	Tyr 240
		Ser	٧a٦	Gln	Ser	Asp 245	Ile	Тгр	Ser	Met	Gly 250	Leu	Ser	Leu	val	G1u 255	Met
20		Ala	val	Gly	Arg 260	Tyr	Pro	Ile	Pro	Pro 265	Pro	Asp	Ala	Lys	G1u 270	Leu	Glu
25		Leu	Met	Phe 275	Gly	Cys	Gln	val	G]u 280	Gly	Asp	Ala	Ala	Glu 285	Thr	Pro	Pro
30		Arg	Pro 290	Arg	Thr	Pro	Gly	Arg 295	Pro	Leu	Ser	Ser	Tyr 300	Gly	Met	Asp	Ser
35		Arg 305	Pro	Pro	Met	Ala	Ile 310	Phe	Glu	Leu	Leu	Asp 315	Tyr	Ile	val	Asn	Glu 320
		Pro	Pro	Pro	Lys	Leu 325	Pro	Ser	Gly	val	Phe 330	Ser	Leu	Glu	Phe	G]n 335	Asp
40		Phe	٧al	Asn	Lys 340	Cys	Leu	Ile	Lys	Asn 345	Pro	Ala	Glu	Arg	Ala 350	Asp	Leu
15		Lys	Gln	Leu 355	Met	Val	His	Ala	Phe 360	Ile	Lys	Arg	Ser	Asp 365	Ala	Glu	Glu
50		val	Asp 370	Phe	Ala	Gly	Тгр	Leu 375	Cys	Ser	Thr	Ile	Gly 380	Leu	Asn	Gln	Pro
55		Ser 385	Thr	Pro	Thr	His	Ala 390	Ala	Gly	val							
,,	<210> 2 <211> 40																
50	<212> PR <213> Ha		apiens														
	<400> 2																
55		Met 1	Leu	Аlа	Arg	Arg 5	Lys	Pro	٧a٦	Leu	Pro 10	ΑΊа	Leu	Thr	Ile	Asn 15	Pro

	Thr	Ile	Ala	Glu 20	Gly	Pro	Ser	Pro	Thr 25	Ser	Glu	Gly	Аlа	Ser 30	Glu	Ala
5	Asn	Leu	va1 35	Asp	Leu	Gln	Lys	Lys 40	Leu	Glu	Glu	Leu	Glu 45	Leu	Asp	Glu
10	Gln	Gln 50	Lys	Lys	Arg	Leu	Glu 55	Ala	Phe	Leu	Thr	G]n 60	Lys	Ala	Lys	۷a۱
15	Gly 65	Glu	Leu	Lys	Asp	Asp 70	Asp	Phe	Glu	Arg	11e 75	Ser	Glu	Leu	Gly	Ala 80
	Gly	Asn	Gly	Gly	Va1 85	val	Thr	Lys	Val	G]n 90	His	Arg	Pro	Ser	Gly 95	Leu
20	Ile	Met	Ala	Arg 100	Lys	Leu	Ile	His	Leu 105	Glu	Ile	Lys	Pro	Ala 110	Ile	Arg
25	Asn	Gln	Ile 115	Ile	Arg	Glu	Leu	Gln 120	Val	Leu	нis	Glu	Cys 125	Asn	Ser	Pro
30	Туг	Ile 130	val	Gly	Phe	Tyr	Gly 135	Ala	Phe	Tyr	Ser	Asp 140	Gly	Glu	Ile	Ser
35	Ile 145	Cys	Met	Glu	His	Met 150	Asp	Gly	Gly	Ser	Leu 155	Asp	Gln	val	Leu	Lys 160
	Glu	Ala	Lys	Arg	Ile 165	Pro	Glu	Glu	Ile	Leu 170	Gly	Lys	Val	Ser	Ile 175	Ala
40	Val	Leu	Arg	Gly 180	Leu	Ala	Tyr	Leu	Arg 185	Glu	Lys	His	Gln	Ile 190	Met	His
45	Arg	Asp	Val 195	Lys	Pro	Ser	Asn	Ile 200	Leu	val	Asn	Ser	Arg 205	Gly	Glu	Ile
50	Lys	Leu 210	Cys	Asp	Phe	Gly	Val 215	Ser	Gly	Gln	Leu	Ile 220	Asp	Ser	Met	Ala
55	Asn 225	Ser	Phe	٧a٦	Gly	Thr 230	Arg	Ser	Tyr	Met	Ala 235	Pro	Glu	Arg	Leu	G]n 240
55	Gly	Thr	His	Tyr	Ser 245	٧a٦	Gln	Ser	Asp	11e 250	Тгр	Ser	Met	Gly	Leu 255	Ser
60	Leu	val	Glu	Leu 260	Ala	val	Gly	Arg	Tyr 265	Pro	Ile	Pro	Pro	Pro 270	Asp	Аlа
	Lys	Glu	Leu	Glu	Аlа	Ile	Phe	Gly	Arg	Pro	val	val	Asp	Gly	Glu	Glu

				275					280					285			
5		Gly	Glu 290	Pro	His	Ser	Ile	Ser 295	Pro	Arg	Pro	Arg	Pro 300	Pro	Gly	Arg	Pro
10		Va1 305	Ser	Gly	His	Gly	Met 310	Asp	Ser	Arg	Pro	Ala 315	Met	Ala	Ile	Phe	G1u 320
		Leu	Leu	Asp	Tyr	Ile 325	val	Asn	Glu	Pro	Pro 330	Pro	Lys	Leu	Pro	Asn 335	Gly
15		Val	Phe	Thr	Pro 340	Asp	Phe	Gln	Glu	Phe 345	val	Asn	Lys	Cys	Leu 350	Ile	Lys
20		Asn	Pro	Ala 355	Glu	Arg	Ala	Asp	Leu 360	Lys	Met	Leu	Thr	Asn 365	His	⊤hr	Phe
25		Ile	Lys 370	Arg	Ser	Glu	Val	Glu 375	Glu	val	Asp	Phe	Ala 380	G1y	Trp	Leu	Cys
30	<210> 3	Lys 385	Thr	Leu	Arg	Leu	Asn 390	Gln	Pro	Gly	Thr	Pro 395	Thr	Arg	Thr	Ala	Val 400
30	<211> 22 <212> D	NA															
35	<213> Ho	omo sa	ipiens														
40		attco 60	gca	cg ag	ggga	ggaag	g cga	agagg	gtgc	tgc	ctc	cc (ccgga	igtt	gg aa	agcgo	gtta
		cccgg 120	ggtc	ca aa	aatgo	ccaa	a gaa	agaag	gccg	acgo	ccat	cc a	agcto	gaaco	c g	gccc	cgac
45	!	ggcto 180	tgca	ag ti	taac	gggad	caç	gctct	gcg	gaga	accaa	act 1	tggag	gcct	t go	cagaa	agaag
		ctgga 240	aggag	gc ta	agago	ttga	tga	agcag	gcag	cgaa	agcg	gcc 1	ttgag	gcct	t to	cttac	ccag
50		aagca 300	gaag	gg to	gggag	gaact	gaa	aggat	gac	gact	ttga	aga a	agato	agtg	ga go	tggg	ggct
55		ggcaa 360	tggo	:g g1	tgtg	gtgtt	caa	aggto	tcc	caca	agco	ctt d	tggo	ctgg	jt ca	atggo	caga
		aagct 420	aatt	c at	tctg	gagat	caa	acco	gca	atco	ggaa	acc a	agato	ataa	ıg gg	gagct	gcag
60	9	gttct 480	gcat	g ag	gtgca	acto	tco	gtac	atc	gtgg	gctt	ct a	atggt	gcgt	:t c1	cacaç	gcgat
		ggcga 540	gato	a gt	tatct	gcat	gga	igcac	atg	gato	gagg	gtt d	tctg	gato	a ag	tcct	gaag
65		aaago 600	tgga	ia ga	aatto	ctga	aca	aatt	tta	ggaa	aagt	ta g	gcatt	gctg	jt aa	itaaa	aggc

	660	cgagggagaa	gcacaayacc	atycacayay	atgicaagcc	CICCAACACC
5	ctagtcaact 720	cccgtgggga	gatcaagctc	tgtgactttg	gggtcagcgg	gcagctcatc
	gactccatgg 780	ccaactcctt	cgtgggcaca	aggtcctaca	tgtcgccaga	aagactccag
10	gggactcatt 840	actctgtgca	gtcagacatc	tggagcatgg	gactgtctct	ggtagagatg
15	gcggttggga 900	ggtatcccat	ccctcctcca	gatgccaagg	agctggagct	gatgtttggg
10	tgccaggtgg 960	aaggagatgc	ggctgagacc	ccacccaggc	caaggacccc	cgggaggccc
20	cttagctcat 1020	acggaatgga	cagccgacct	cccatggcaa	tttttgagtt	gttggattac
	atagtcaacg 1080	agcctcctcc	aaaactgccc	agtggagtgt	tcagtctgga	atttcaagat
25	tttgtgaata 1140	aatgcttaat	aaaaaacccc	gcagagagag	cagatttgaa	gcaactcatg
30	gttcatgctt 1200	ttatcaagag	atctgatgct	gaggaagtgg	attttgcagg	ttggctctgc
30	tccaccatcg 1260	gccttaacca	gcccagcaca	ccaacccatg	ctgctggcgt	ctaagtgttt
35	gggaagcaac 1320	aaagagcgag	tcccctgccc	ggtggtttgc	catgtcgctt	ttgggcctcc
	ttcccatgcc 1380	tgtctctgtt	cagatgtgca	tttcacctgt	gacaaaggat	gaagaacaca
40	gcatgtgcca 1440	agattctact	cttgtcattt	ttaatattac	tgtctttatt	cttattacta
15	ttattgttcc 1500	cctaagtgga	ttggctttgt	gcttggggct	atttgtgtgt	atgctgatga
45	tcaaaacctg 1560	tgccaggctg	aattacagtg	aaatttttgg	tgaatgtggg	tagtcattct
50	tacaattgca 1620	ctgctgttcc	tgctccatga	ctggctgtct	gcctgtattt	tcggactttg
	acatttgaca 1680	tttggtggac	tttatcttgc	tgggcatact	ttctctctag	gagggagcct
55	tgtgagatcc 1740	ttcacaggca	gtgcatgtga	agcatgcttt	gctgctatga	aaatgagcat
60	cagagagtgt 1800	acatcatgtt	attttattat	tattatttgc	ttttcatgta	gaactcagca
60	gttgacatcc 1860	aaatctagcc	agagcccttc	actgccatga	tagctggggc	ttcaccagtc
65	tgtctactgt 1920	ggtgatctgt	agacttctgg	ttgtatttct	atatttattt	tcagtatact

		gtgtgggata 1980	cttagtggta	tgtctcttta	agttttgatt	aatgtttctt	aaatggaati
5		atttgaatgt 2040	cacaaattga	tcaagatatt	aaaatgtcgg	atttatcttt	ccccatatco
		aagtaccaat 2100	gctgttgtaa	acaacgtgta	tagtgcctaa	aattgtatga	aaatccttti
10		aaccatttta 2160	acctagatgt	ttaacaaatc	taatctctta	ttctaataaa	tatactatga
15		aataaaaaa 2220	aaaggagaaa	gctaaaaaaa	aaaaaaaaa	aaaaaaaaa	aaaaaaaaa
		aa 2222					
20	<210> 4 <211> 1 <212> D	759					
25	<213> H	Iomo sapiens					
	<400> 4		+caa2c+caa	actacaacat	cageettett	caaacctcaa	caacaataa
30		60	tcggactcgg				
		ggctcgctcg 120	cctcagcccc	agcgcccctc	ggctaccctc	ggcccaggcc	cgcagcgccg
35		cccgccctcg 180	gccgccccga	cgccggcctg	ggccgcggcc	gcagccccgg	gctcgcgtag
		gcgccgaccg 240	ctcccggccc	gccccctatg	ggccccggct	agaggcgccg	ccgccgccgg
40		cccgcggagc 300	cccgatgctg	gcccggagga	agccggtgct	gccggcgctc	accatcaacc
		ctaccatcgc 360	cgagggccca	tcccctacca	gcgagggcgc	ctccgaggca	aacctggtgg
45		acctgcagaa 420	gaagctggag	gagctggaac	ttgacgagca	gcagaagaag	cggctggaag
50		cctttctcac 480	ccagaaagcc	aaggtcggcg	aactcaaaga	cgatgacttc	gaaaggatct
		cagagctggg 540	cgcgggcaac	ggcggggtgg	tcaccaaagt	ccagcacaga	ccctcgggcc
55		tcatcatggc 600	caggaagctg	atccaccttg	agatcaagcc	ggccatccgg	aaccagatca
		tccgcgagct 660	gcaggtcctg	cacgaatgca	actcgccgta	catcgtgggc	ttctacgggg
60		ccttctacag 720	tgacggggag	atcagcattt	gcatggaaca	catggacggc	ggctccctgg
65		accaggtgct 780	gaaagaggcc	aagaggattc	ccgaggagat	cctggggaaa	gtcagcatcg
		cggttctccq	gggcttggcg	tacctccgag	agaagcacca	gatcatgcac	cgagatgtga

	840					
5	agccctccaa 900	catcctcgtg	aactctagag	gggagatcaa	gctgtgtgac	ttcggggtga
	gcggccagct 960	catcgactcc	atggccaact	ccttcgtggg	cacgcgctcc	tacatggctc
10	cggagcggtt 1020	gcagggcaca	cattactcgg	tgcagtcgga	catctggagc	atgggcctgt
	ccctggtgga 1080	gctggccgtc	ggaaggtacc	ccatccccc	gcccgacgcc	aaagagctgg
15	aggccatctt 1140	tggccggccc	gtggtcgacg	gggaagaagg	agagcctcac	agcatctcgc
20	ctcggccgag 1200	gcccccggg	cgccccgtca	gcggtcacgg	gatggatagc	cggcctgcca
-0	tggccatctt 1260	tgaactcctg	gactatattg	tgaacgagcc	acctcctaag	ctgcccaacg
25	gtgtgttcac 1320	ccccgacttc	caggagtttg	tcaataaatg	cctcatcaag	aacccagcgg
	agcgggcgga 1380	cctgaagatg	ctcacaaacc	acaccttcat	caagcggtcc	gaggtggaag
30	aagtggattt 1440	tgccggctgg	ttgtgtaaaa	ccctgcggct	gaaccagccc	ggcacaccca
35	cgcgcaccgc 1500	cgtgtgacag	tggccgggct	ccctgcgtcc	cgctggtgac	ctgcccaccg
33	tccctgtcca 1560	tgccccgccc	ttccagctga	ggacaggctg	gcgcctccac	ccaccctcct
40	gcctcacccc 1620	tgcggagagc	accgtggcgg	ggcgacagcg	catgcaggaa	cgggggtctc
	ctctcctgcc 1680	cgtcctggcc	ggggtgcctc	tggggacggg	cgacgctgct	gtgtgtggtc
45	tcagaggctc 1740	tgcttcctta	ggttacaaaa	caaaacaggg	agagaaaaag	caaaaaaaaa
50	aaaaaaaaa 1759	aaaaaaaaa				
30	210. 5					
	<210> 5 <211> 18					
55	<212> DNA					
JJ	<213> Artificial					
	<220>					
60	<223> oligonucleótido a	ntisentido				
	<400> 5					
	+ < + < < < < < < < < < < < < < < < < <	teceteat				

```
<210>6
    <211> 18
    <212> DNA
   <213> Artificial
    <220>
    <223> oligonucleótido antisentido
10
    <400> 6
            taacgcgctt ccaactcc
15
    <210>7
    <211> 18
    <212> DNA
    <213> Artificial
    <220>
    <223> oligonucleótido antisentido
    <400> 7
30
            ggcgtcggct tcttcttg
35
    <210> 8
    <211> 18
    <212> DNA
    <213> Artificial
    <220>
    <223> oligonucleótido antisentido
45
    <400> 8
            gttggtctcc gcagagct
18
50
    <210>9
    <211> 18
   <212> DNA
    <213> Artificial
    <220>
   <223> oligonucleótido antisentido
    <400> 9
65
            tctgcttctg ggtaagaa
18
```

```
<210> 10
    <211> 18
    <212> DNA
   <213> Artificial
    <220>
    <223> oligonucleótido antisentido
10
    <400> 10
            cccagctcac tgatcttc
15
    <210> 11
    <211> 18
    <212> DNA
    <213> Artificial
    <220>
    <223> oligonucleótido antisentido
    <400> 11
30
           gcttgtggga gaccttga
18
   <210> 12
    <211> 18
    <212> DNA
    <213> Artificial
    <220>
    <223> oligonucleótido antisentido
45
    <400> 12
           gtacggagag ttgcactc
18
50
    <210> 13
    <211> 18
   <212> DNA
    <213> Artificial
    <220>
   <223> oligonucleótido antisentido
    <400> 13
           tgcagatact gatctcgc
```

```
<210> 14
    <211> 18
    <212> DNA
   <213> Artificial
    <220>
    <223> oligonucleótido antisentido
10
    <400> 14
            ttccagcttt cttcagga
15
    <210> 15
    <211> 18
    <212> DNA
    <213> Artificial
25
    <223> oligonucleótido antisentido
    <400> 15
30
            ggccttttat tacagcaa
18
    <210> 16
    <211> 18
    <212> DNA
    <213> Artificial
    <220>
    <223> oligonucleótido antisentido
    <400> 16
            ctctgtgcat gatcttgt
18
50
    <210> 17
    <211> 18
    <212> DNA
55
    <213> Artificial
    <220>
    <223> oligonucleótido antisentido
    <400> 17
            ctaggatgtt ggagggct
```

```
<210> 18
    <211> 18
    <212> DNA
   <213> Artificial
    <220>
    <223> oligonucleótido antisentido
10
    <400> 18
           agtcacagag cttgatct
15
    <210> 19
    <211> 18
    <212> DNA
    <213> Artificial
    <220>
    <223> oligonucleótido antisentido
    <400> 19
30
            agtcgatgag ctgcccgc
   <210> 20
    <211> 18
    <212> DNA
    <213> Artificial
    <220>
    <223> oligonucleótido antisentido
45
   <400> 20
           tggagtcttt ctggcgac
18
50
    <210> 21
    <211> 18
   <212> DNA
    <213> Artificial
    <220>
    <223> oligonucleótido antisentido
    <400> 21
            ctgactgcac agagtaat
18
65
```

```
<210> 22
    <211> 18
    <212> DNA
   <213> Artificial
    <220>
    <223> oligonucleótido antisentido
10
    <400> 22
            taccagagac agtcccat
15
    <210> 23
    <211> 18
    <212> DNA
    <213> Artificial
    <220>
    <223> oligonucleótido antisentido
    <400> 23
30
            catctggagg agggatgg
18
    <210> 24
    <211> 18
    <212> DNA
    <213> Artificial
    <220>
    <223> oligonucleótido antisentido
45
    <400> 24
            cacccaaaca tcagctcc
18
50
    <210> 25
    <211> 18
    <212> DNA
    <213> Artificial
    <220>
    <223> oligonucleótido antisentido
    <400> 25
           tctcagccgc atctcctt
```

```
<210> 26
    <211> 18
    <212> DNA
   <213> Artificial
    <220>
    <223> oligonucleótido antisentido
10
    <400> 26
           gcagttttgg aggaggct
18
15
    <210> 27
    <211> 18
    <212> DNA
    <213> Artificial
    <220>
    <223> oligonucleótido antisentido
    <400> 27
30
            attaagcatt tattcaca
   <210> 28
    <211> 18
    <212> DNA
    <213> Artificial
    <220>
    <223> oligonucleótido antisentido
45
   <400> 28
            catgaaccat gagttgct
18
50
    <210> 29
    <211> 18
   <212> DNA
    <213> Artificial
    <220>
   <223> oligonucleótido antisentido
    <400> 29
           caaaatccac ttcctcag
```

```
<210> 30
    <211> 18
    <212> DNA
   <213> Artificial
    <220>
    <223> oligonucleótido antisentido
10
    <400> 30
            aggccgatgg tggagcag
18
15
    <210> 31
    <211> 18
20
    <212> DNA
    <213> Artificial
    <220>
25
    <223> oligonucleótido antisentido
    <400> 31
30
            agcagcatgg gttggtgt
18
    <210> 32
    <211> 18
    <212> DNA
    <213> Artificial
    <220>
    <223> oligonucleótido antisentido
    <400> 32
45
            ctctttgttg cttcccaa
18
50
    <210> 33
    <211> 18
    <212> DNA
    <213> Artificial
    <220>
    <223> oligonucleótido antisentido
60
    <400> 33
            aggaggccca aaagcgac
18
65
```

```
<210> 34
    <211> 18
    <212> DNA
   <213> Artificial
    <220>
    <223> oligonucleótido antisentido
10
    <400> 34
           aagagtagaa tcttggca
15
    <210> 35
    <211> 18
    <212> DNA
    <213> Artificial
    <220>
    <223> oligonucleótido antisentido
    <400> 35
30
           ctacccacat tcaccaaa
18
   <210> 36
    <211> 18
    <212> DNA
    <213> Artificial
    <220>
    <223> oligonucleótido antisentido
45
    <400> 36
            gaaggatctc acaaggct
18
50
    <210> 37
    <211> 18
   <212> DNA
    <213> Artificial
    <220>
    <223> oligonucleótido antisentido
    <400> 37
            gagttctaca tgaaaagc
18
```

```
<210> 38
    <211> 18
    <212> DNA
   <213> Artificial
    <220>
    <223> oligonucleótido antisentido
10
    <400> 38
            tgaagcccca gctatcat
18
15
    <210> 39
    <211> 18
    <212> DNA
    <213> Artificial
25
    <223> oligonucleótido antisentido
    <400> 39
30
            aaccagaagt ctacagat
    <210>40
    <211> 18
    <212> DNA
    <213> Artificial
    <220>
    <223> oligonucleótido antisentido
45
    <400> 40
            actaagtatc ccacacag
50
    <210>41
    <211> 18
    <212> DNA
    <213> Artificial
    <220>
    <223> oligonucleótido antisentido
    <400> 41
            tacaacagca ttggtact
18
65
```

```
<210> 42
    <211> 18
    <212> DNA
<sup>5</sup> <213> Artificial
    <220>
    <223> oligonucleótido antisentido
10
    <400> 42
            aaggattttc atacaatt
15
    <210> 43
    <211> 23
    <212> DNA
    <213> Artificial
   <220>
    <223> siRNA (MEK-1)
    <400> 43
30
           aagcaactca tggttcatgc ttt
35 <210> 44
    <211> 21
    <212> DNA
    <213> Artificial
    <220>
    <223> siRNA (MEK-1)
<sup>45</sup> <400> 44
           aagtcctgaa gaaagctgga a
50
    <210> 45
    <211> 21
55 <212> DNA
    <213> Artificial
    <220>
60 <223> siRNA (MEK-2)
    <400> 45
            aagaaggaga gcctcacagc a
```

```
<210>46
    <211> 21
    <212> DNA
<sup>5</sup> <213> Artificial
    <220>
    <223> siRNA (MEK-2)
10
    <400> 46
           aaggtcggcg aactcaaaga c
15
    <210> 47
    <211> 21
    <212> RNA
    <213> Artificial
    <220>
25
    <223> siRNA (MEK-1)
    <400> 47
           agaaccucca uccaugugcu u
21
30
    <210>48
    <211> 21
    <212> DNA
    <213> Artificial
    <220>
    <223> siRNA (MEK-1)
    <400> 48
           ucaaaucugc ucucucugcu u
50
    <210>49
    <211> 21
    <212> DNA
    <213> Artificial
    <220>
    <223> siRNA (MEK-1)
    <400> 49
            aguugcuuca aaucugcucu u
21
65
```

```
<210> 50
    <211> 21
    <212> DNA
<sup>5</sup> <213> Artificial
    <220>
    <223> siRNA (MEK-1)
10
    <400> 50
           agaugaauua gcuuucuggu u
21
15
    <210> 51
    <211> 20
    <212> DNA
    <213> Artificial
    <220>
    <223> cebador
    <400> 51
30
           tgaaggtgac agagcctctg
20
35 <210> 52
    <211> 20
    <212> DNA
    <213> Artificial
    <220>
    <223> cebador
45 <400> 52
           tgggtgaatt cgggcttgtt
20
50
    <210> 53
    <211> 18
   <212> DNA
    <213> Artificial
    <220>
   <223> cebador
    <400> 53
           gcaaatactg caacaagg
18
```

```
<210> 54
    <211> 19
    <212> DNA
<sup>5</sup> <213> Artificial
    <220>
    <223> cebador
10
    <400> 54
            gcactggtac ttcttgaca
19
15
    <210> 55
    <211> 21
20
    <212> DNA
    <213> Artificial
    <220>
25
    <223> cebador
    <400> 55
30
           aaagccgctc gcaagagtgc g
    <210> 56
    <211> 20
    <212> DNA
    <213> Artificial
    <220>
    <223> cebador
   <400> 56
            acttgcctcc tgcaaagcac
20
50
    <210> 57
    <211> 27
    <212> DNA
    <213> Artificial
    <220>
    <223> cebador
    <400> 57
           ttcaaatgag attgtggaaa aattgct
27
65
```

5	<210> 58 <211> 24 <212> DNA <213> Artificial	
10	<220> <223> cebador <400> 58	
15	agatcatctc tgcctgagta tctt 24	
20		
25		
30		
35		
40		
45		
50		
5560		
00		



(21) N.º solicitud:200802466

22 Fecha de presentación de la solicitud: 20.08.2008

32 Fecha de prioridad: 00-00-0000

INFORME SOBRE EL ESTADO DE LA TECNICA

⑤ Int. Cl. :	A61K31/275	(2006.01)
	A61P43/00	(2006.01)

DOCUMENTOS RELEVANTES

Categoría		Documentos citados	Reivindicaciones afectadas
Υ	DONG ZHANG. Role of ER	IG LIU, XIAO-LIANG ZHANG, MIN-XIA LI, JIAN-K1/2 and PI3-K in the regulation of CTGF-induced Clinica Chimica Acta 382 (2007) 89-94.	1-4
Υ		rmacological inhibitors of MAPK pathways. Trends in 2002) Vol.23, No.1, 40-45. Páginas 42-43.	1-4
Α	SELGAS, R. et al. Epìthelial-to-mesenchymal transition of the mesothelial cell-its role in the response of the peritoneum to dialysis. Nephrology Dialysis Transplantation (2006) 21 [Suppl 2]: ii2-ii7. doi:10.1093/ndt/gf1183. Página ii2-ii3.		1-4
A	Células mesoteliales obter	ión epitelio-mesenquimal en procesos fibrosantes. idas ex vivo de pacientes tratados con diálisis transdiferenciación. Nefrología (2004). Vol. XXIV. 4.	1-4
X: d Y: d n	egoría de los documentos citados e particular relevancia e particular relevancia combinado con ot nisma categoría efleja el estado de la técnica	O: referido a divulgación no escrita ro/s de la P: publicado entre la fecha de prioridad y la de pr de la solicitud E: documento anterior, pero publicado después d de presentación de la solicitud	
	presente informe ha sido realizado para todas las reivindicaciones	para las reivindicaciones nº: TODAS	
Fecha	de realización del informe 25.11.2010	Examinador M. García Bueno	Página 1/5

INFORME DEL ESTADO DE LA TÉCNICA

Nº de solicitud:200802466

CLASIFICACIÓN OBJETO DE LA SOLICITUD
Documentación mínima buscada (sistema de clasificación seguido de los símbolos de clasificación)
A61K, A61P
Bases de datos electrónicas consultadas durante la búsqueda (nombre de la base de datos y, si es posible, términos de búsqueda utilizados)
INVENES, EPODOC, WPI, TXTE, TXTF, MEDLINE, BIOSIS, NPL, XPESP.

Fecha de Realización de la Opinión Escrita:

Declaración

Novedad (Art. 6.1 LP 11/1986)

Reivindicaciones 1-4

SI
Reivindicaciones NO

Actividad inventiva (Art. 8.1 LP11/1986) Reivindicaciones SI

Reivindicaciones 1-4 NO

Se considera que la solicitud cumple con el requisito de aplicación industrial. Este requisito fue evaluado durante la fase de examen formal y técnico de la solicitud (Artículo 31.2 Ley 11/1986).

Base de la Opinión.-

La presente opinión se ha realizado sobre la base de la solicitud de patente tal y como se publica.

1. Documentos considerados.-

A continuación se relacionan los documentos pertenecientes al estado de la técnica tomados en consideración para la realización de esta opinión.

Documento	Número Publicación o Identificación	Fecha Publicación
D01	XIAO-CONG LIU, BI-CHENG LIU, XIAO-LIANG ZHANG,	2007
	MIN-XIA LI, JIAN-DONG ZHANG. Role of ERK1/2 and	
	PI3-K in the regulation of CTGF-induced ILK expression	
	in HK-2 cells. Clinica Chimica Acta 382 (2007) 89-94.	
D02	ENGLISH J., COBB M. Pharmacological inhibitors	2002
	of MAPK pathways. Trends in Pharmacological Sciences	
	(2002) Vol.23, No.1, 40-45.	
D03	SELGAS, R. et al. Epithelial-to-mesenchymal transition	2006
	of the mesothelial cell-its role in the response	
	of the peritoneum to dialysis. Nephrology Dialysis	
	Transplantation (2006) 21 [Suppl 2]: ii2-ii7.	
	doi:10.1093/ndt/gf1183.	
D04	SELGAS, R. et al. Transición epitelio-mesenquimal	2004
	en procesos fibrosantes. Células mesoteliales obtenidas	
	ex vivo de pacientes tratados con diálisis peritoneal	
	como modelo de transdiferenciación. Nefrología (2004).	
	Vol. XXIV. Número 1. 34-39.	

2. Declaración motivada según los artículos 29.6 y 29.7 del Reglamento de ejecución de la Ley 11/1986, de 20 de marzo, de Patentes sobre la novedad y la actividad inventiva; citas y explicaciones en apoyo de esta declaración

La presente invención se refiere al uso de una composición que comprende un agente U0126 para la elaboración de un medicamento para el tratamiento de la fibrosis peritoneal. (reivindicaciones 1-4).

El documento D01 divulga que la inhibición de kinasa unida a integrina (ILK), una proteína Ser/Thr-kinasa, inducida por CTGF (factor de crecimiento del tejido conectivo), mediante las vías de señalización PI3-K y/o MEK/ERK1/2 podrían tener valor terapéutico en la fibrosis renal. Para estudiar esta implicación, se han utilizado inhibidores de MEK1 y MEK2.

El documento D02 divulga inhibidores de MEK1 y MEK2, entre los que se encuentran U0126.

El documento D03 divulga que la fibrosis de la membrana peritoneal es una de las complicaciones de la diálisis peritoneal.

Debido a la diálisis peritoneal las células mesoteliales del peritoneo procedentes de efluentes de la diálisis muestran una progresiva pérdida del fenotipo epitelial y adquieren características fibroblásticas denominándose a éste proceso transición epitelio-mesenquimal (TEM) o transdiferenciación (ver página ii2).

También se divulga que la expresión del factor Snail regula TEM mediante la inhibición de la expresión de cadherina-E. La expresión de Snail integra una cascada de señales intracelulares activadas por TGF-B que incluyen la quinasa unida a integrina ILK y el factor de transcripción nuclear kappa B (NF-kB), entre otras (ver página ii3).

Otra señal de transducción estimulada por TGF-B es la vía H-Ras/Raf/ERK, la cual también es necesaria para la inducción de la expresión de Snail y TEM (ver página ii3).

El documento D04 divulga que el tratamiento de las células mesoteliales in vitro con medios con alta concentración de glucosa o citoquinas proinflamatorias inducen la expresión de E-cadherina, que desempeña un papel central en el control de la transición epitelio-mesenquimal. El factor de transcripción Snail es un potente represor de la transcripción de E-cadherina e inductor de la transdiferenciación (ver página 35).

1.-NOVEDAD (Art. 6 Ley 11/1986).

Las reivindicaciones 1-4 parecen ser nuevas en el sentido del artículo 6 de la Ley 11/1986.

2.- ACTIVIDAD INVENTIVA (Art. 8 Ley 11/1986).

El documento D01 divulga inhibidores de MEK1 y MEK2 para elaborar un medicamento para el tratamiento de la fibrosis peritoneal (ver páginas 93-94).

Nº de solicitud:200802466

demás, el docume	n a MEK1 para inhibirla (ver página 41-43). nto D02 también divulga el uso de estos inhibidon	res de MEK1 y MEK2 junto con otros principios activo
ver conclusiones).	G	
e considera que ui 02 para obtener las	n experto en la materia intentaría combinar las pa s características de las reivindicaciones 1-3 y tener	artes principales del documento D01 con el document r una expectativa razonable de éxito.
or lo tanto, el objet	o de las reivindicaciones 1-3 no implica actividad in	nventiva (Artículo 8 Ley 11/1986).